

# 高い時間分解能と位置分解能を併せ持つ 新型LGAD検出器(AC-LGAD)の研究開発



筑波大学  
*University of Tsukuba*

筑波大学 素粒子実験研究室

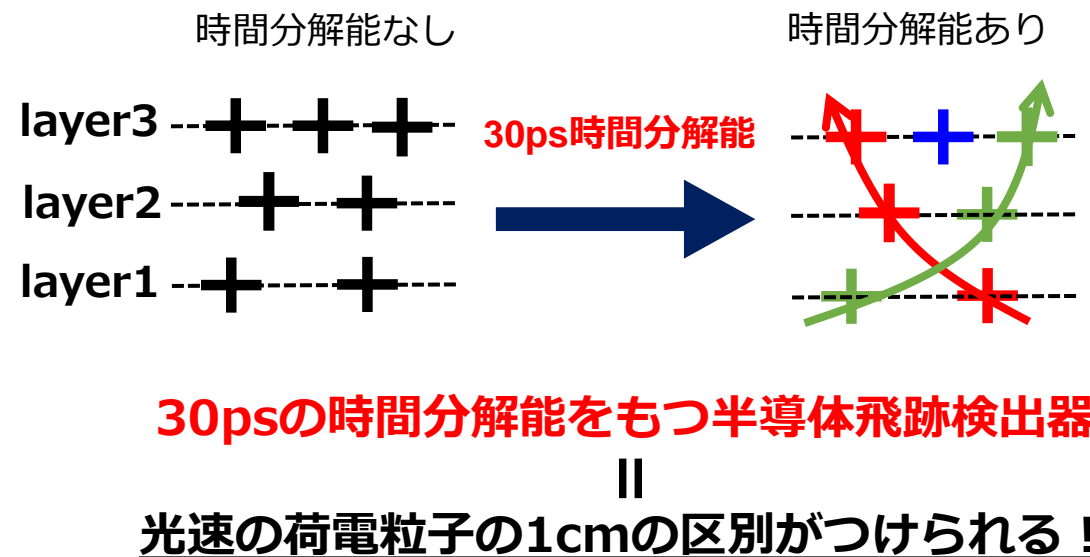
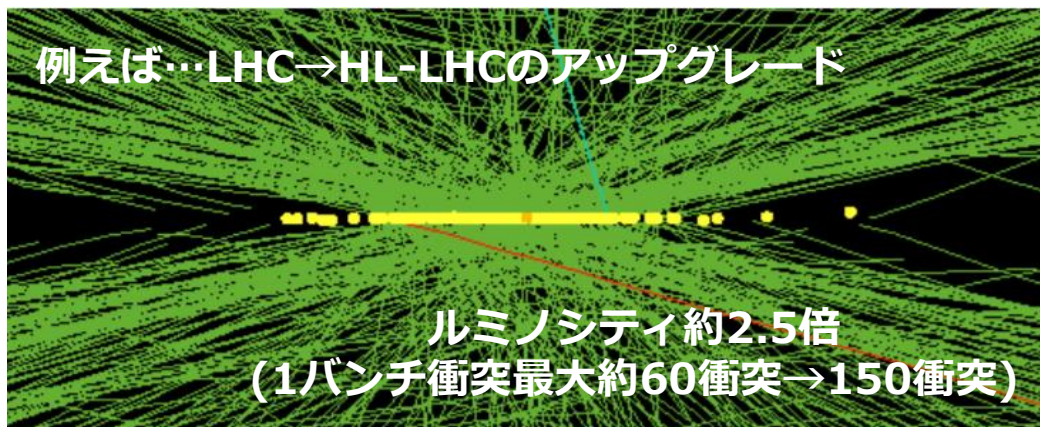
M1 北彩友海

植田樹, 五屋郁美, 中村浩二(KEK), 原和彦



# モチベーション

将来の加速器実験：高輝度化



30psの時間分解能

- ✓ Fakeトラックを除ける
- ✓ 別衝突点からのトラックを区別できる

+

0(10um)の高い位置分解能

- ✓ より精密な粒子の飛跡再構成&運動量測定

+

高い放射線耐性

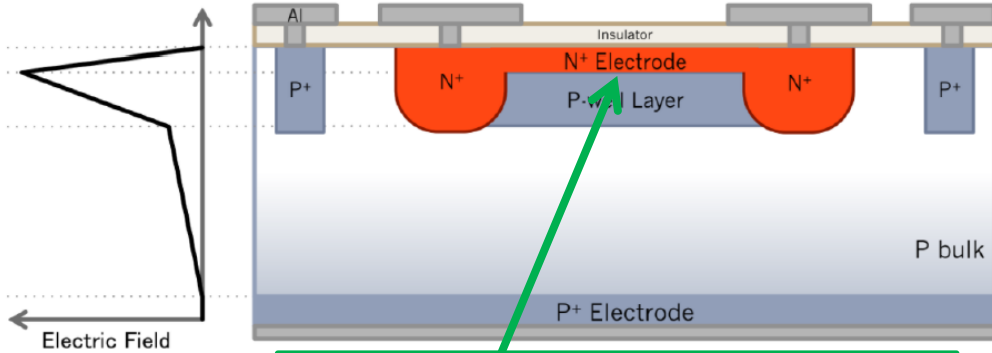
( $1 \times 10^{16} n_{eq}/cm^2$ )

❖ 将来の加速器実験には、

高い時間 + 位置分解能 + 高い放射線耐性を併せ持つ新型シリコン飛跡検出器が必要！

# Low-Gain Avalanche Diode 検出器

## 基本構造

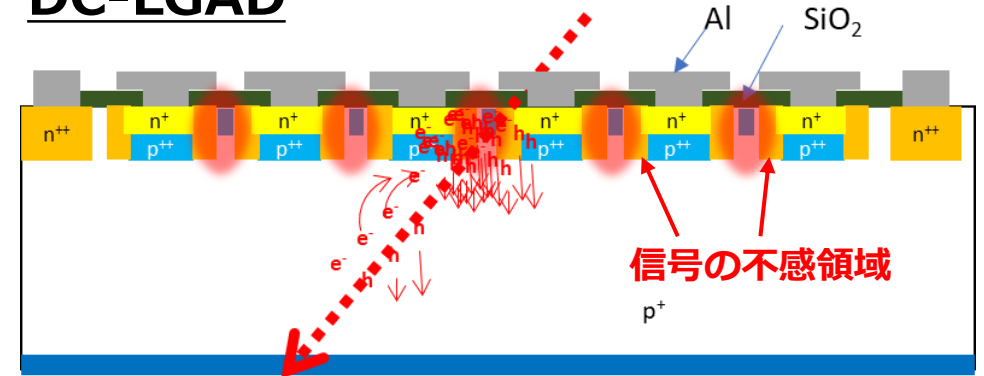


高電場：電子雪崩  
増幅された信号で**高い時間分解能**

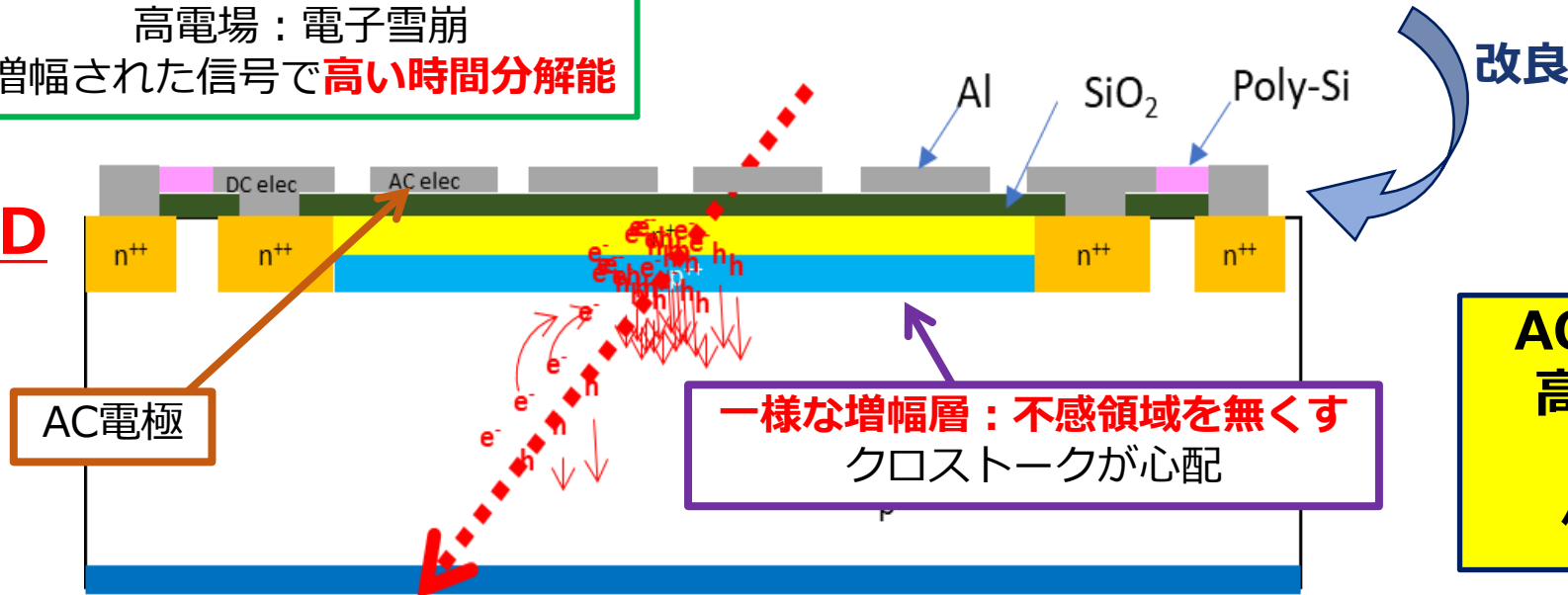
高い位置分解能のために電極細密化



## DC-LGAD

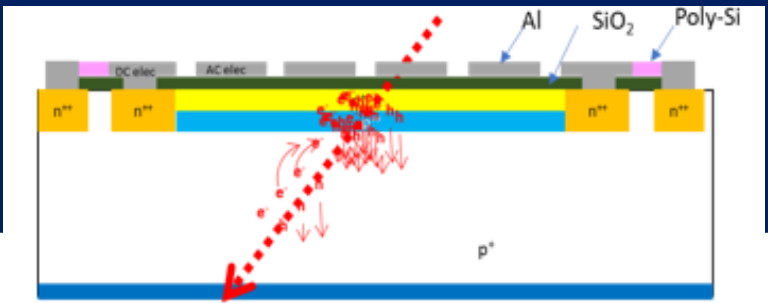


## AC-LGAD

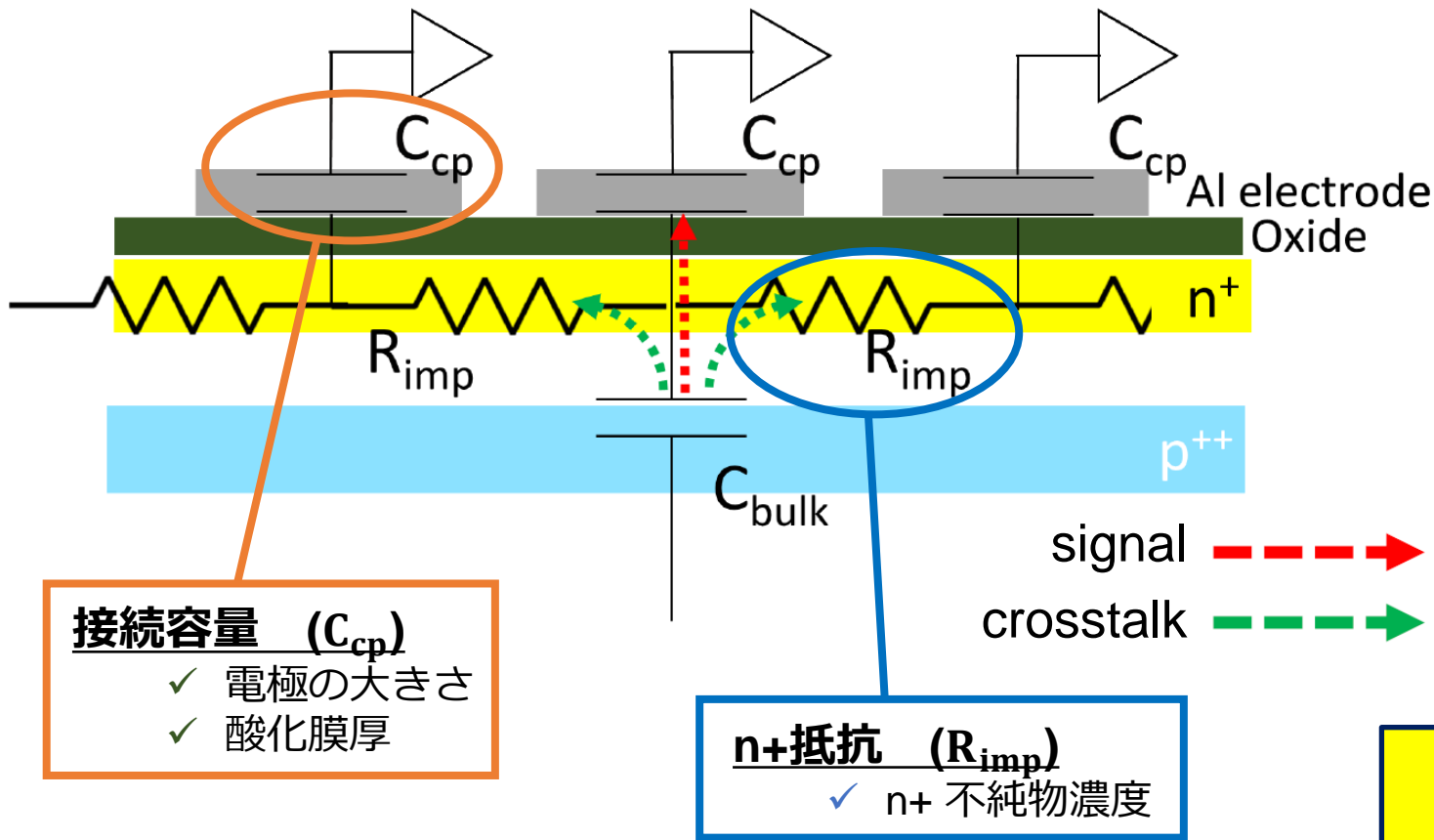


AC-LGAD検出器は  
高い時間分解能と  
位置分解能を  
併せ持つ検出器

# 信号の読み出しモデル



センサー表面



信号の大きさとクロストークの量の比  
→  $R_{imp}$  と  $C_{cp}$  のインピーダンスの比

$$Q = \frac{Z_{R_{imp}}}{Z_{R_{imp}} + Z_{C_{cp}}} Q_0$$

読みだされる電荷  $Q$  =  $\frac{Z_{R_{imp}}}{Z_{R_{imp}} + Z_{C_{cp}}}$  バルク内でできた電荷  $Q_0$

電極を細密化すると...

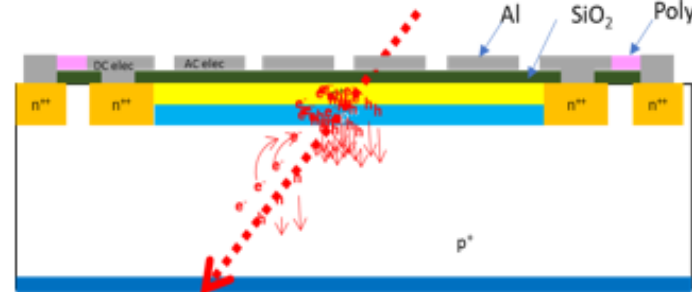
- 電極が小さくなる →  $C_{cp}$  が小さく
- $Z_{C_{cp}}$  が大きくなる
- 読みだされる電荷  $Q$  が小さくなる

→ 信号が小さくなる

(SNをよくするため信号はなるべく大きくしたい)

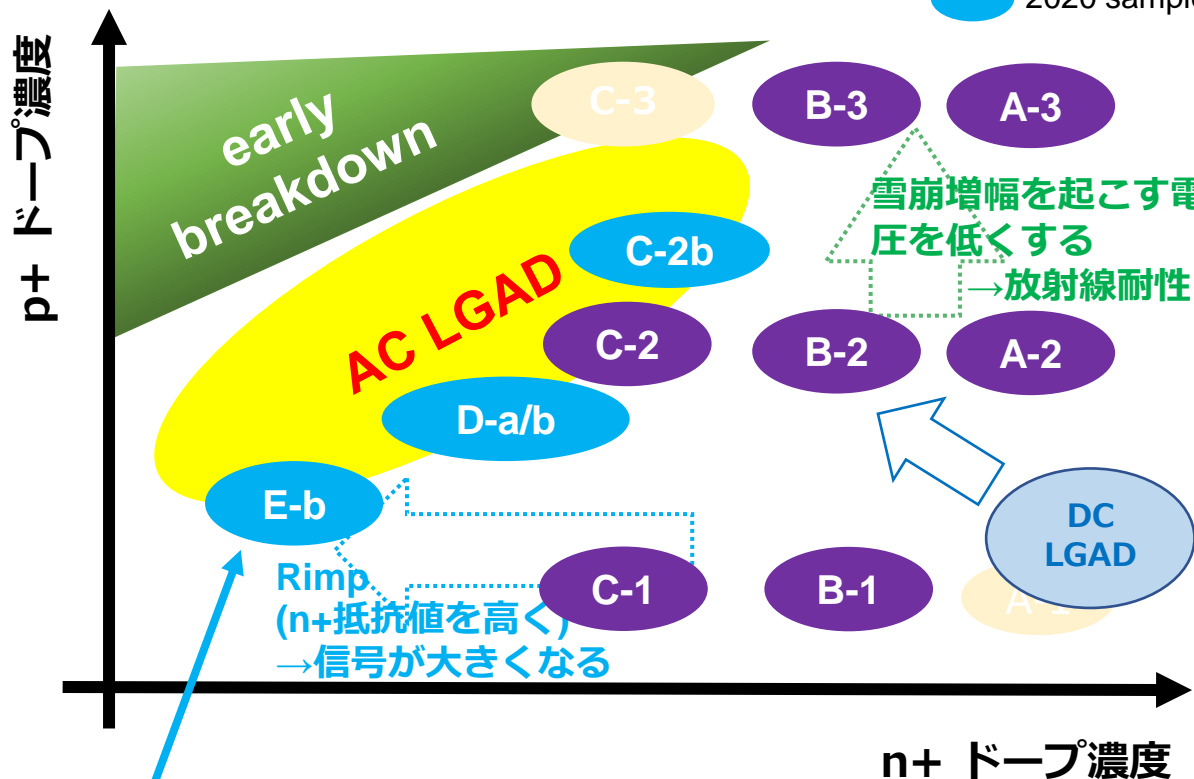
❖ 電極を細密化すると信号が小さくなり  
クロストークが増える

# 最適化が必要な条件と試作サンプル

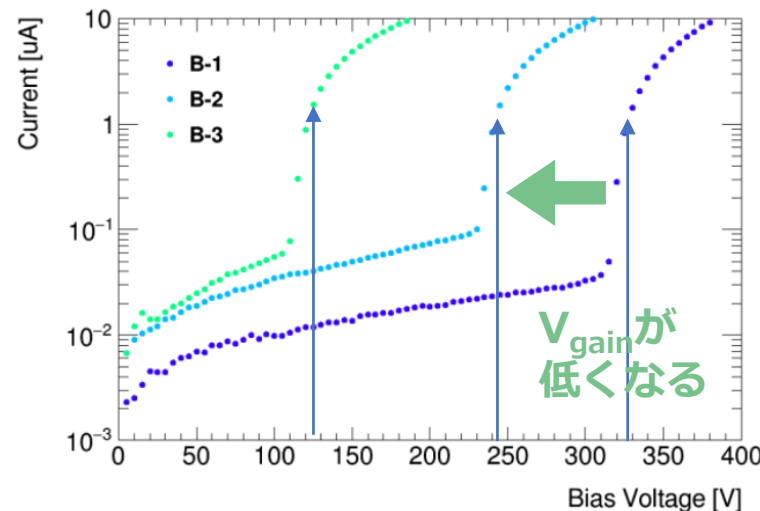


いくつか条件を変えたサンプルを試作

● 2019 samples  
● 2020 samples



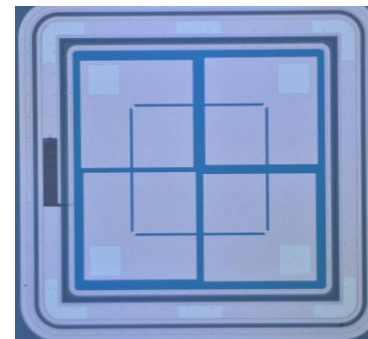
n+ドープ濃度を薄く ( $R_{imp}$  大)、酸化膜厚を薄く ( $C_{cp}$  大)  
→電極を細密化しても信号を大きく、クロストークを小さく



$V_{gain}$  が低すぎると空乏層が作れない  
↕  
 $V_{gain}$  が高いと放射線耐性がない  
→  $p+$  濃度は  $V_{gain}$  の調整に使う。

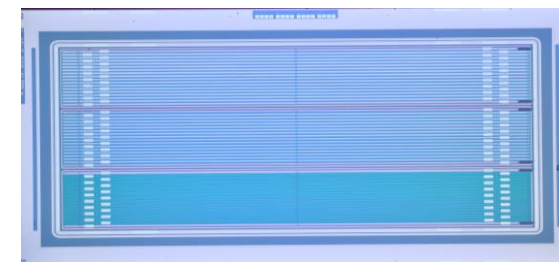
電極の形：2種類

Pad sensor  
(500um x 500um, 4ch)



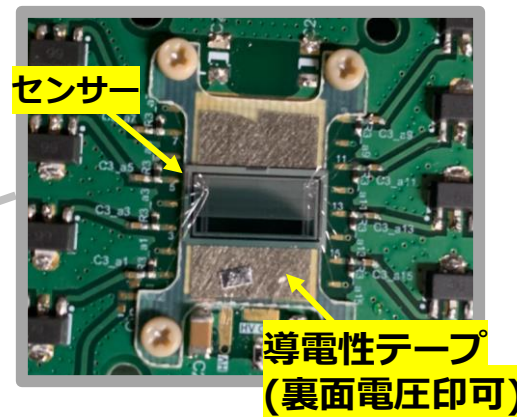
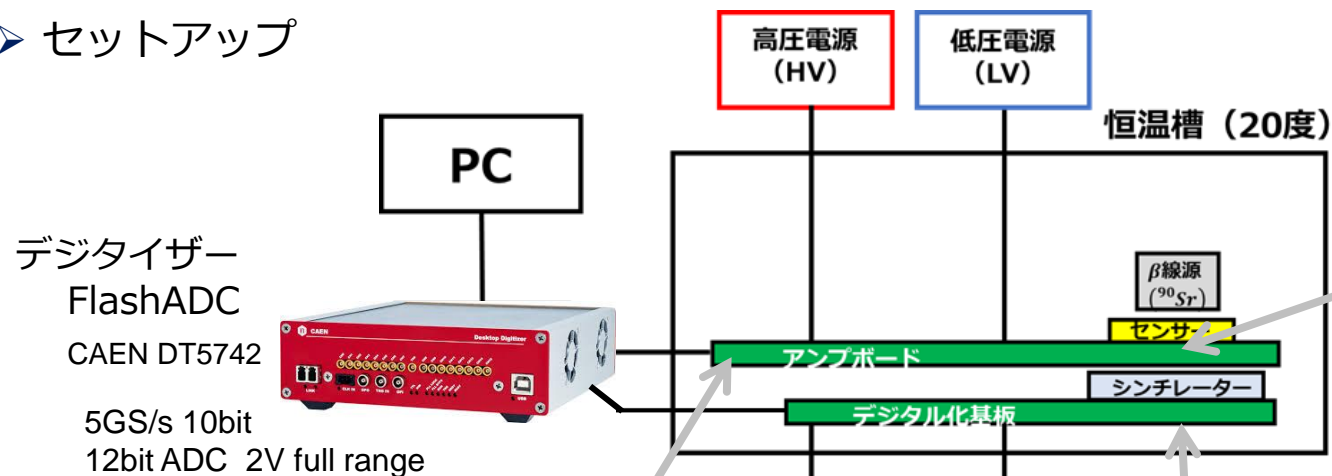
Strip sensor  
(45, 40um x 9880um, 16ch)

80um pitch

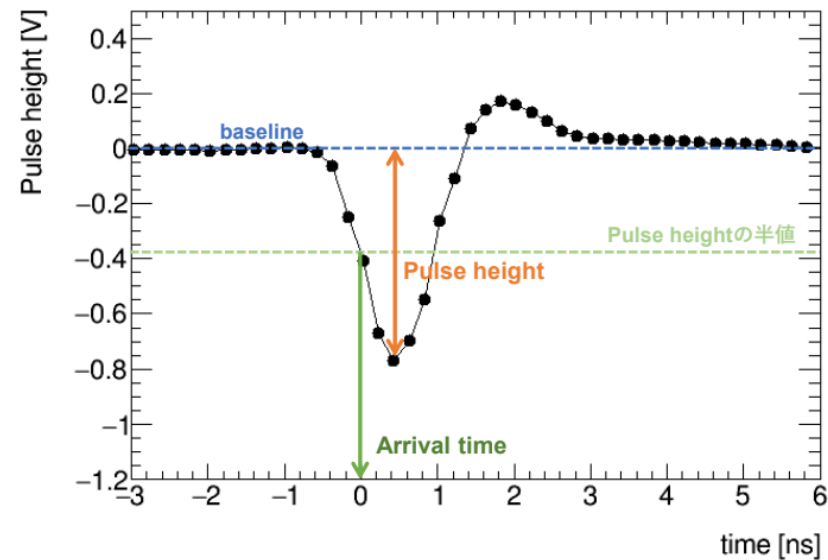


# 実験室測定セットアップ

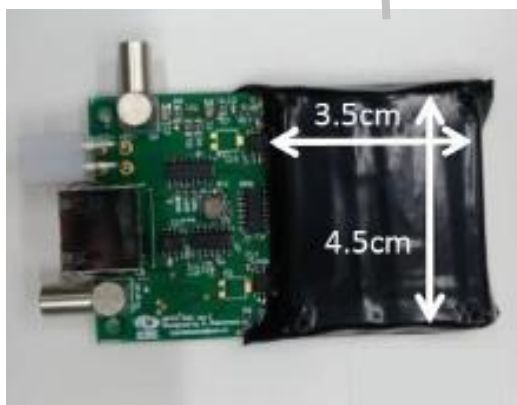
## ▶ セットアップ



## ▶ 実際の波形



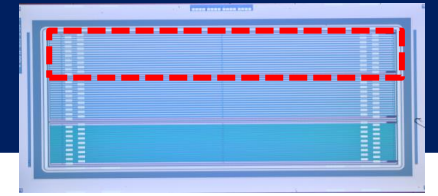
アンプボード : KEK 16ch amp



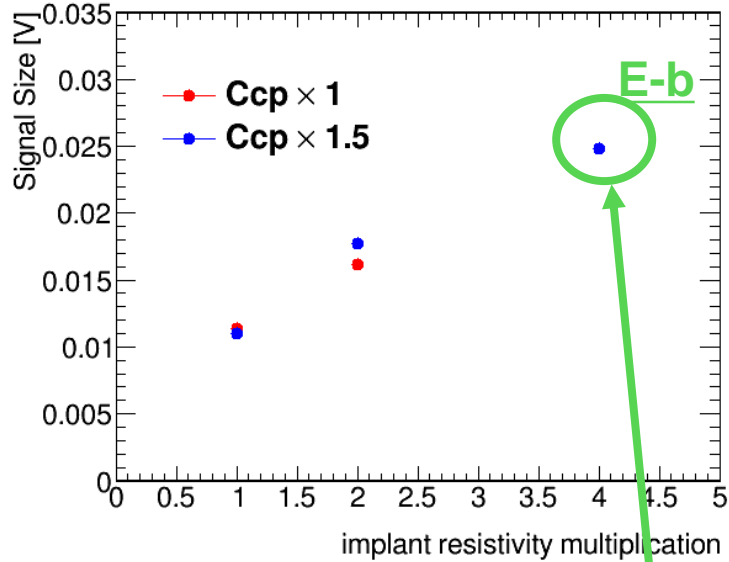
トリガー : シンチレーター (MPPC)

# 信号の大きさとクロストークの大きさ

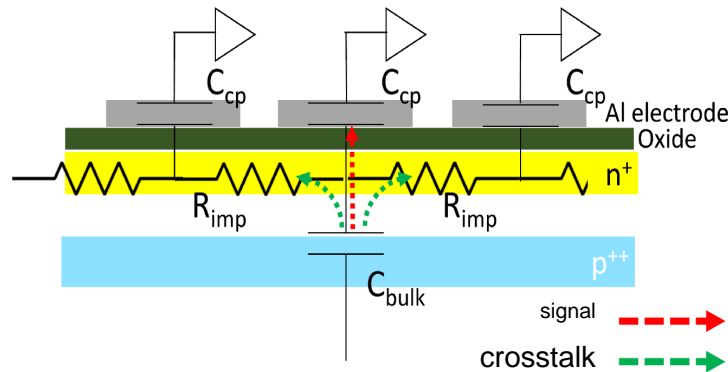
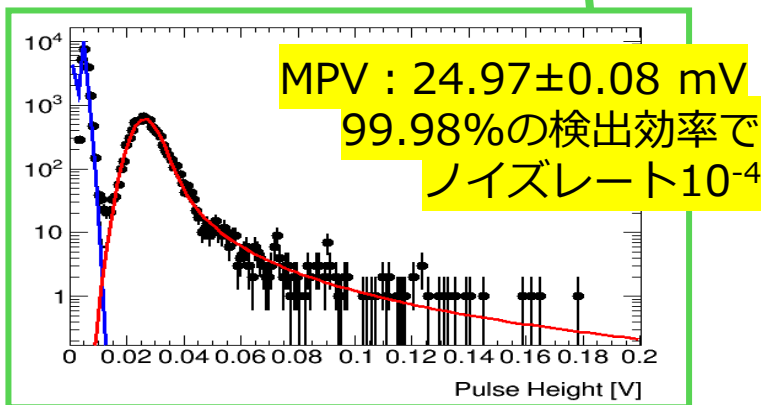
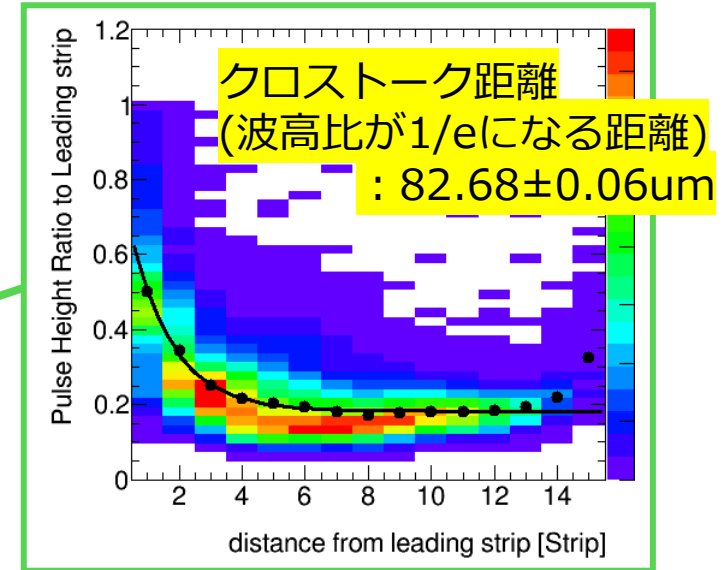
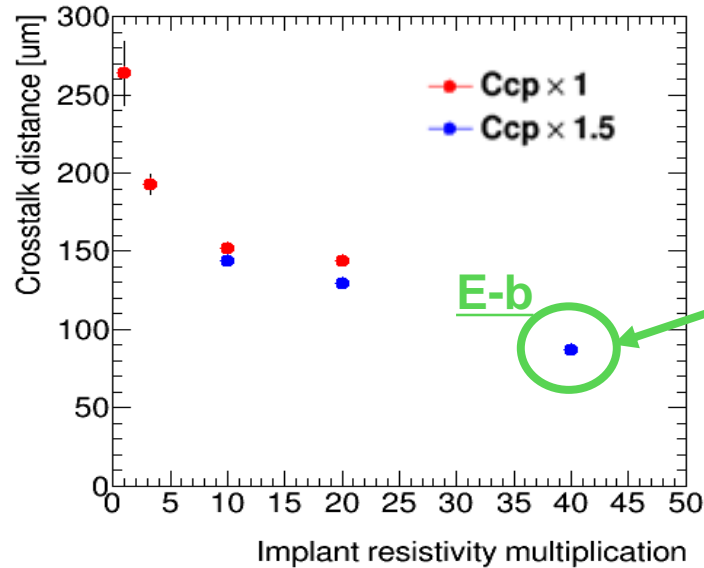
Strip sensor



## ➤ 信号の大きさ



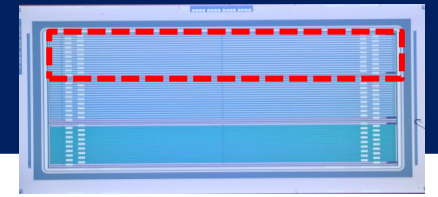
## ➤ クロストーク



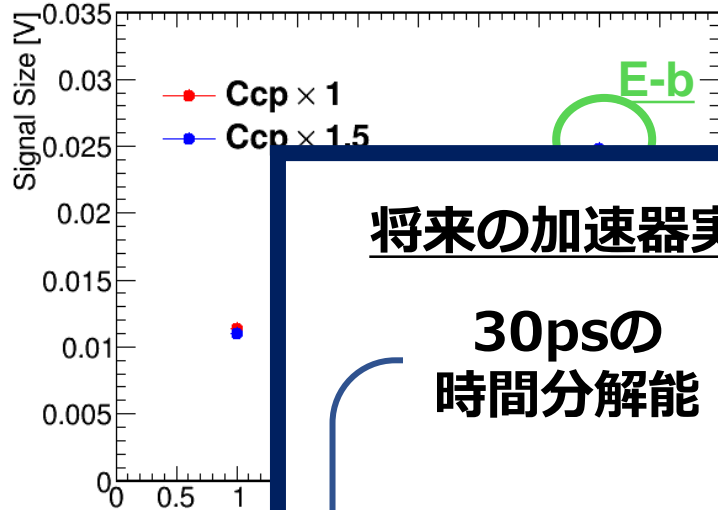
❖ 電極を細密化した**E-b**タイプ  
( $R_{imp}$ 、 $C_{cp}$ 大サンプル)  
→十分に信号大、  
クロストーク小

# 信号の大きさとクロストークの大きさ

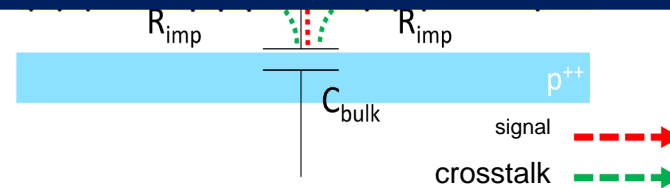
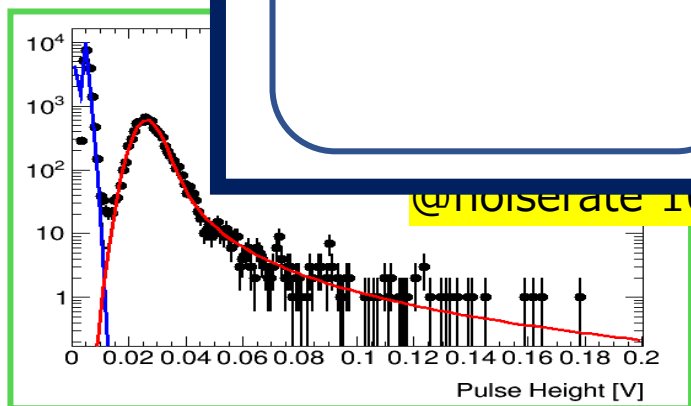
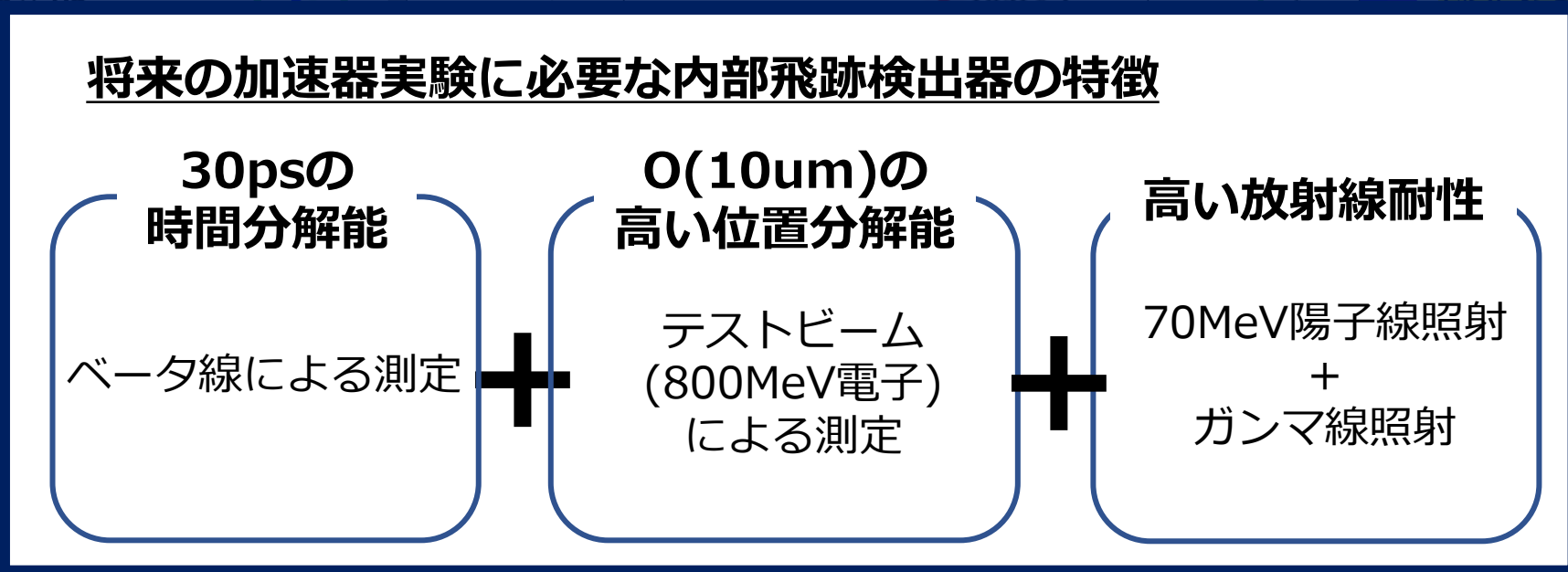
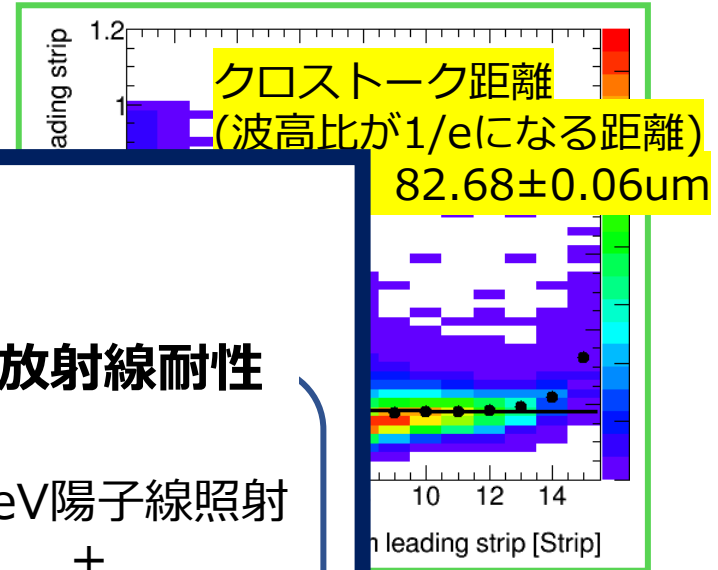
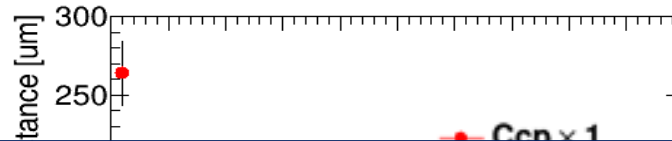
Strip sensor



## ➤ 信号の大きさ



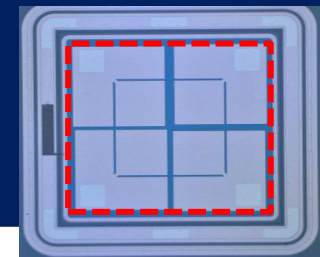
## ➤ クロストーク



したE-bタイプ (大サンプル)  
→十分に信号大、クロストーク小



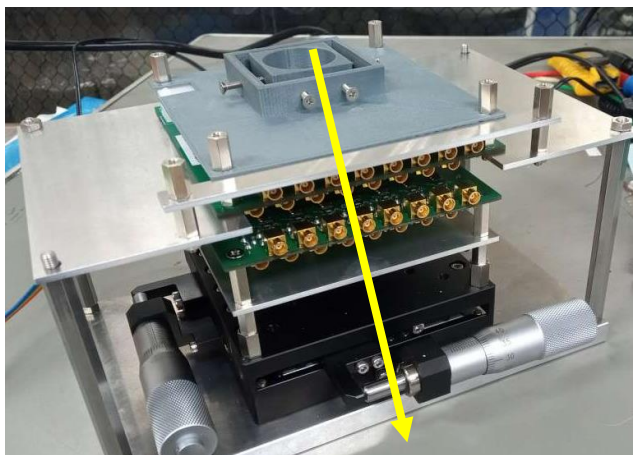
# 時間分解能測定



Pad sensor

PadE-bタイプ(信号大、クロストーク小)とPadC2タイプで時間分解能を算出

➤ 方法：2枚のセンサーの信号の時間差から求める

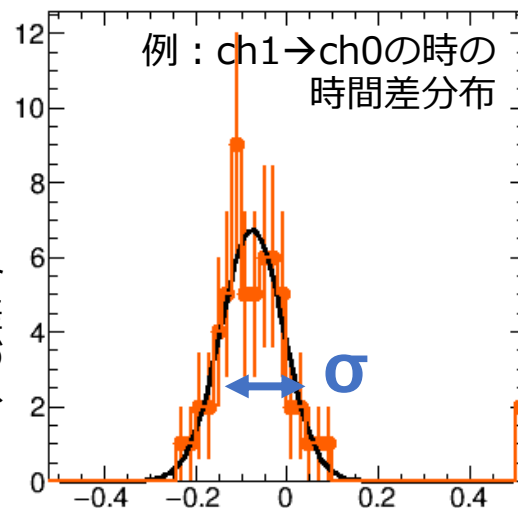


アンプボードを2枚重ねた

2枚のセンサーが同じなら  
 $\sigma(T_1 - T_2) = \sqrt{(\sigma_1)^2 + (\sigma_2)^2}$

## 時間分解能

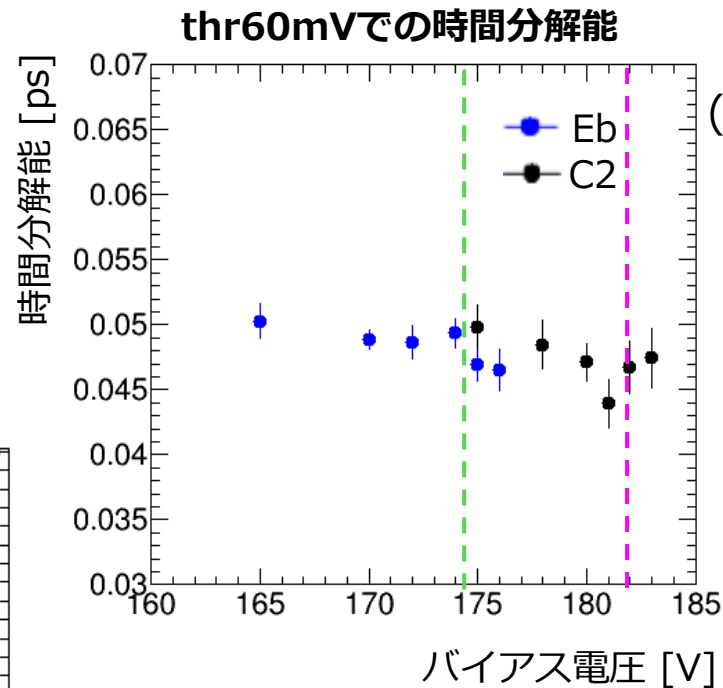
$$\sigma_t = \sigma(T_1 - T_2) / \sqrt{2}$$



WaveRunner 8208HD  
 2GHz, 8ch, 10GS/s, 12bit



各チャンネルの組み合わせごとに時間差分布を作成、重みづけして全体の時間分解能とした



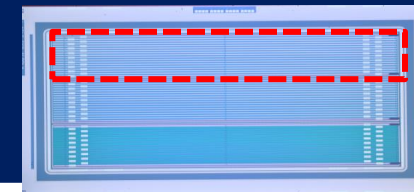
時間分解能  
 (signal efficiency > 95%  
 @noise rate 10<sup>-4</sup>)

**C2 38.2+-2.0ps (182V)**  
**E-b 49.3+-1.1ps (174V)**

30psに到達していない  
 ベータ線だから？  
 (調査中)

❖ C2タイプでもEbタイプでも50ps以下の高い時間分解能を確認

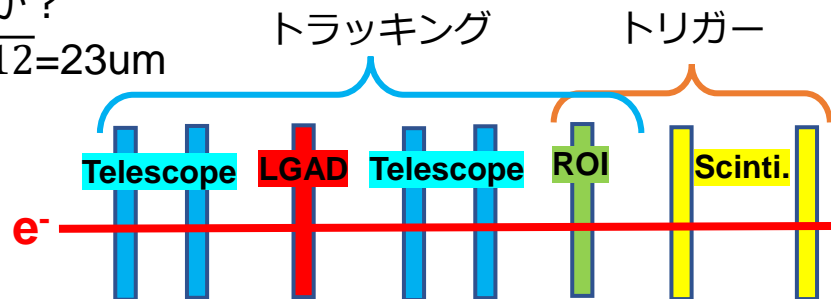
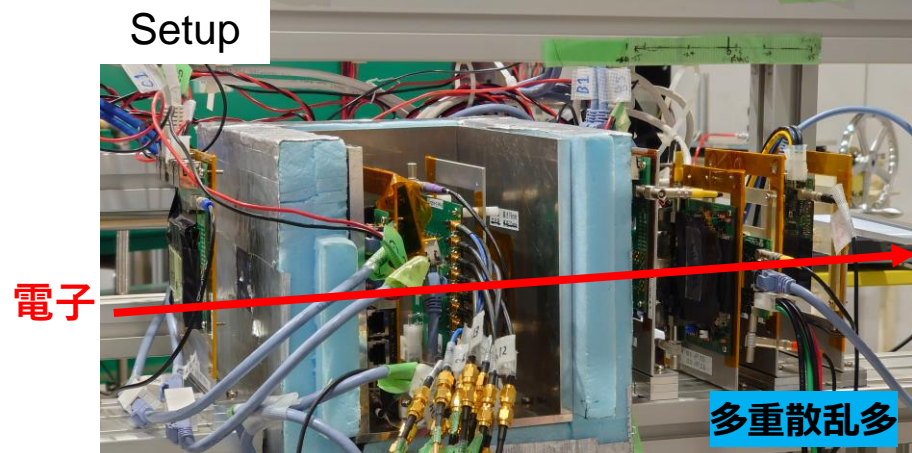
# 位置分解能測定(テストビーム)



バイナリー読み出しで位置分解能がちゃんと出るか？

➤ ELPHテストビーム@東北大

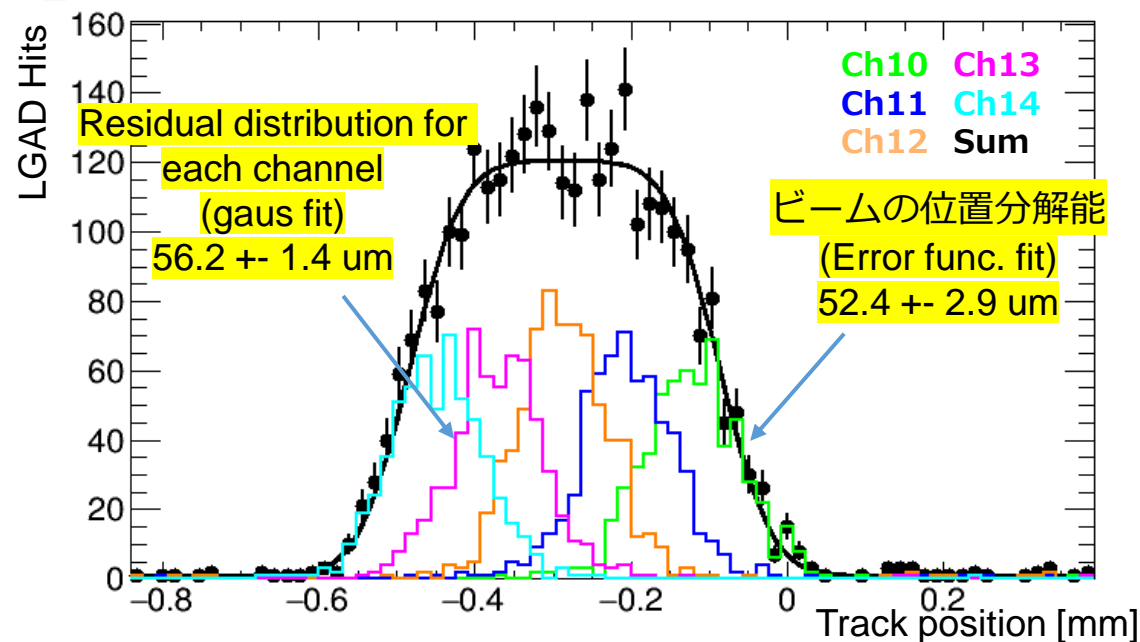
$$80\mu\text{m} \div \sqrt{12} = 23\mu\text{m}$$



解析

- ✓ Good tracks
  - : 全てのtelescopeとROIにヒット
  - :  $\chi^2/\text{NDF} < 18$  (x,y)
- ✓ LGAD hit : > 14mV  
(95%efficiency)

- Pixel sensor (25x500 $\mu\text{m}$ )
- Pixel sensor (50x250 $\mu\text{m}$ ) Specify region



- ✓ 800MeV電子ビーム
- ✓ beam rate : 200 ~ 400 Hz
- ✓ beam current : 14.38mA
- ✓ センサー : Strip E-b (信号大)
- ✓ Number of events : 600,000
- ✓ Bias voltage : 170V

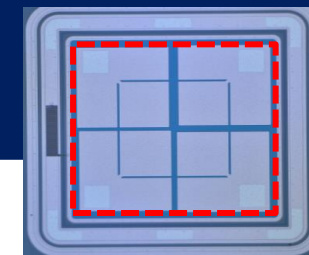
WaveRunner 8208HD  
2GHz, 8ch, 10GS/s, 12bit



位置分解能 : 20.3+- 3.2 $\mu\text{m}$  → 期待したよい位置分解能

# 放射線耐性

Pad sensor

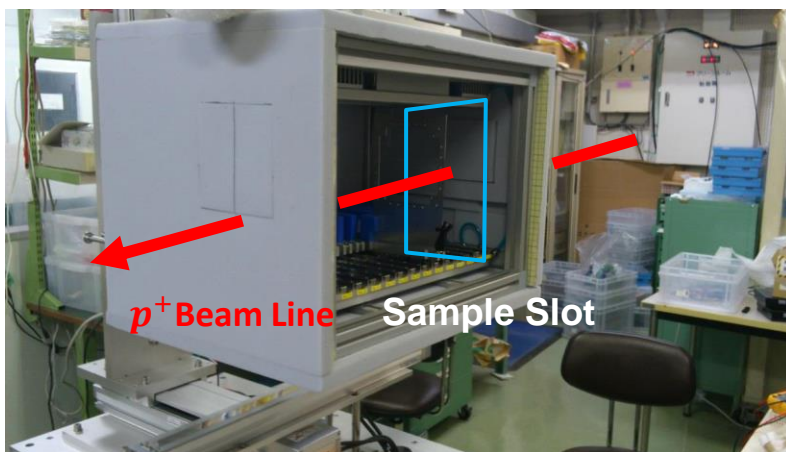


## 放射線ダメージ

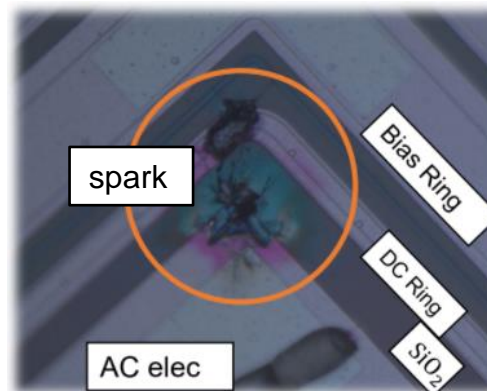
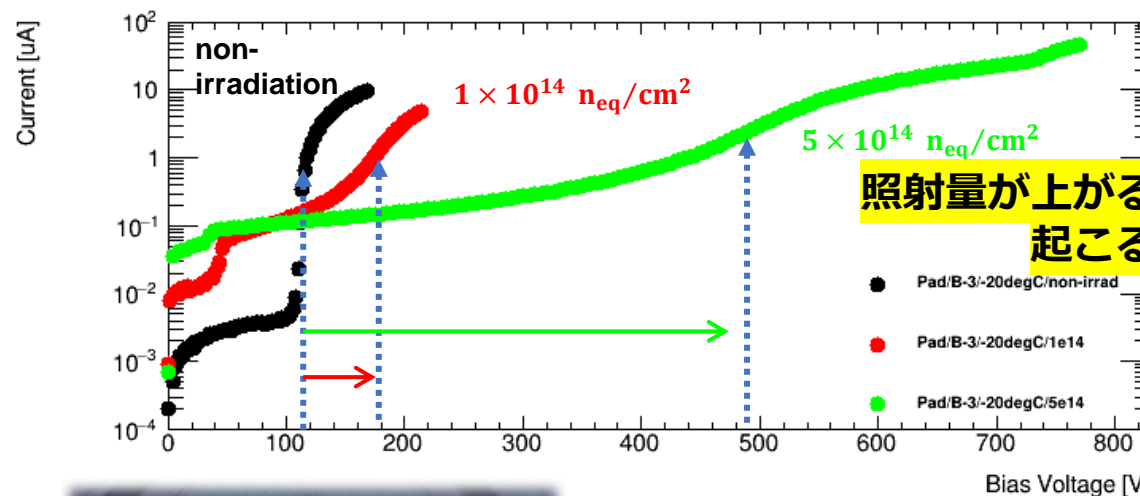
- ✓ TID : 表面損傷
  - ✓ NIEL : バルク損傷
  - ✓ acceptor removal (p+濃度の減少)
- ガンマ線照射
- 陽子線照射

## 陽子線照射@CYRIC(東北大)

- ✓ 70MeV陽子  
 $1 \times 10^{14} \text{ n}_{\text{eq}}/\text{cm}^2$ ,  $5 \times 10^{14} \text{ n}_{\text{eq}}/\text{cm}^2$
- ✓ センサー : Pad B3



## IV curve



700V以上をかけると  
スパーク

- ✓ 照射量の増加でp+濃度の減少  
→ 運転電圧の上昇
- ✓ 高電圧によりスパーク
- ✓ 照射量が増加しても運転電圧が上がらないような工夫が必要...

内部飛跡検出器として使うには  
放射線耐性の改良が必要

# まとめ

高い空間・時間分解能を併せ持つ検出器であるLGAD検出器の開発をしている  
信号の不感領域のない新型のAC-LGADを試作した。

## 30psの 時間分解能

ベータ線による測定

38.2+-2.0ps  
(C2Pad)

49.3+-1.1ps  
(E-bPad)

+

## O(10um)の 高い位置分解能

テストビーム  
(800MeV電子)  
による測定

20.3+- 3.2um  
(E-bStrip)

+

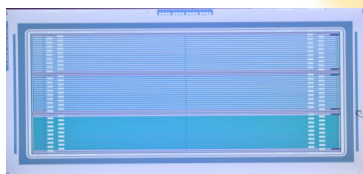
## 高い放射線耐性

70MeV陽子線照射  
+  
(ガンマ線照射)

$1 \times 10^{15} n_{eq}/cm^2$ 程度の  
照射量でセンサーが  
耐圧を超える

改良が必要

## E-bタイプ Stripセンサー



$e^+e^-$  collider / hadron  
colliderの外層飛跡検出器なら  
すでに実用化可能！！

→大型検出器の試作を予定

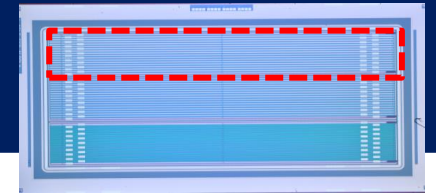
## 高放射線環境下の内部飛跡検出器として使うには…

- ✓ 放射線耐性：放射線を浴びても運転電圧が上がらない  
(p+ドープ濃度が減らないよう)内部構造に何か工夫
- ✓ pixel化：50um pitchのセンサー

# backup

# Signal size and crosstalk measurement

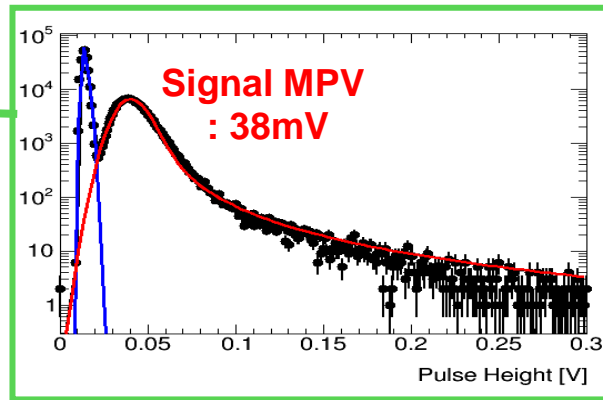
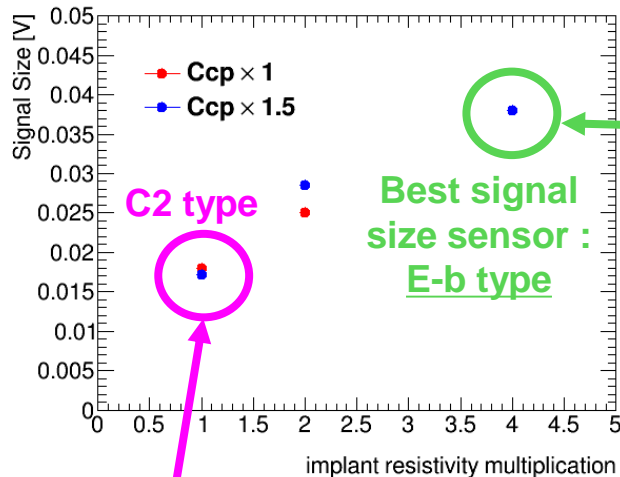
Strip sensor



To check new prototypes → Tested using <sup>90</sup>Sr beta-ray source

## ➤ Signal size measurement

Signal size : MPV of pulse height distribution in the highest signal channel.

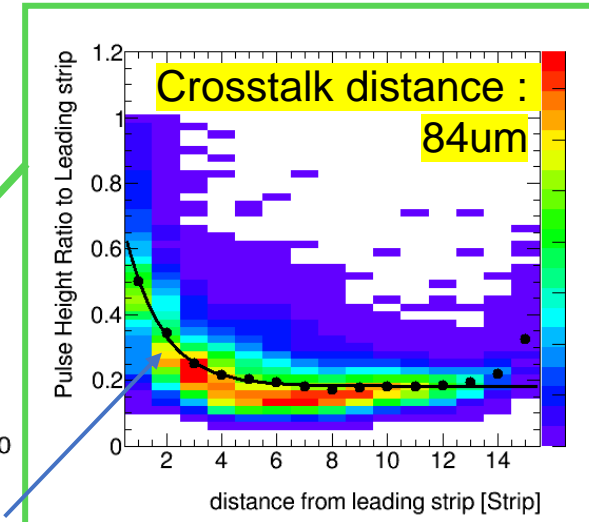
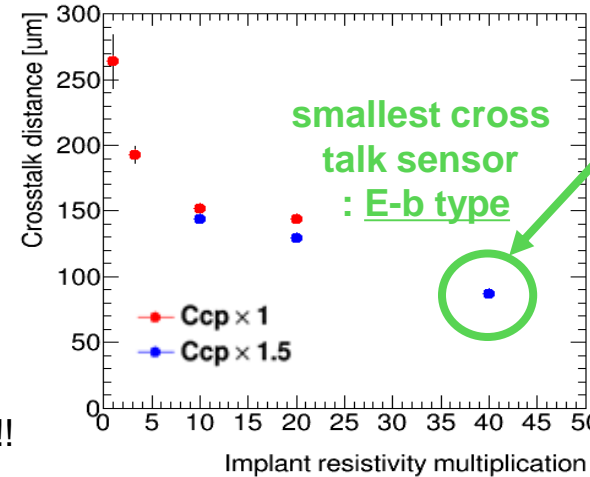


Signal clearly separated from noise !!!  
Noise efficiency at 99% of signal efficiency

## ➤ Crosstalk measurement

Compare crosstalk size : “crosstalk distance”

Distance of 1/e pulse height from leading strip



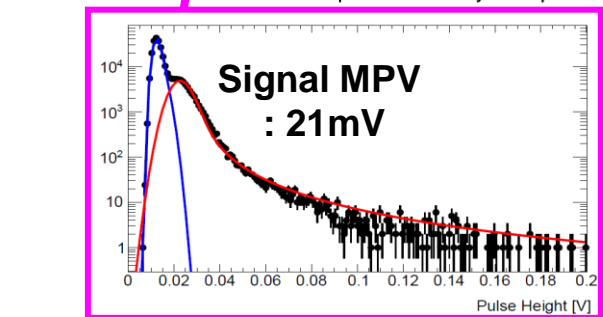
Fit with function :

$$y = A \exp\left(-\frac{x}{\tau}\right) + B$$

crosstalk distance

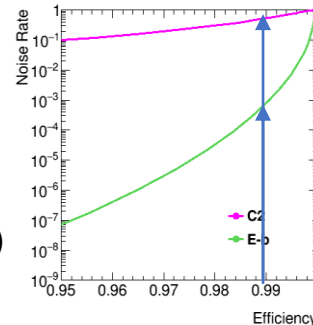
50% of crosstalk to next strip

Largest  $R_{imp}$  and  $C_{cp}$  sample (E-b type) is the best sensor type  
 ✓ Signal size → clearly separated from noise  
 ✓ Crosstalk → suppressed enough



Signal **not** clearly separated from noise ...

0.6 (C2)  
 $R_{imp} \times 4$   
 $C_{cp} \times 1.5$   
 $10^{-3}$  (E-b)

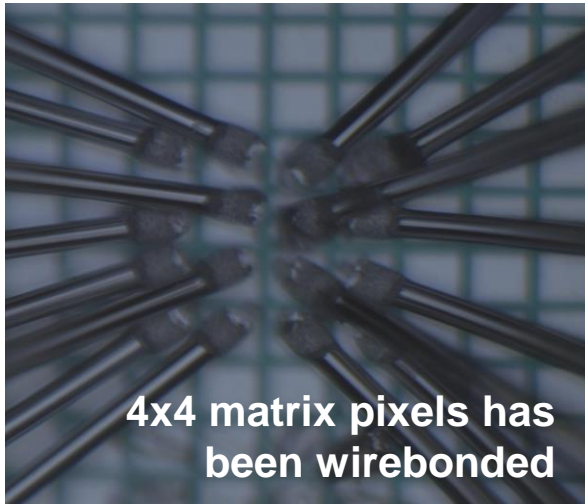
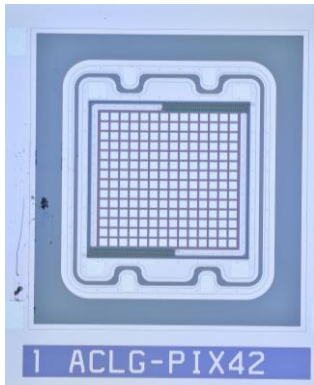


# Pixel sensor measurement

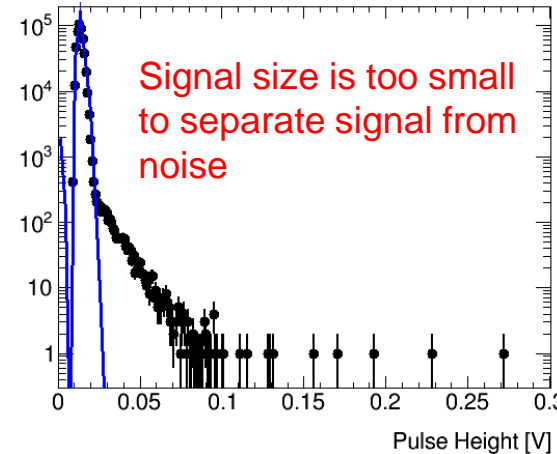
To reduce pile up effect, developing pixel sensor !

➤ E-b type (high resistivity, high coupling capacitance)

50um pitch pixel sensor  
(42 um x 42 um)



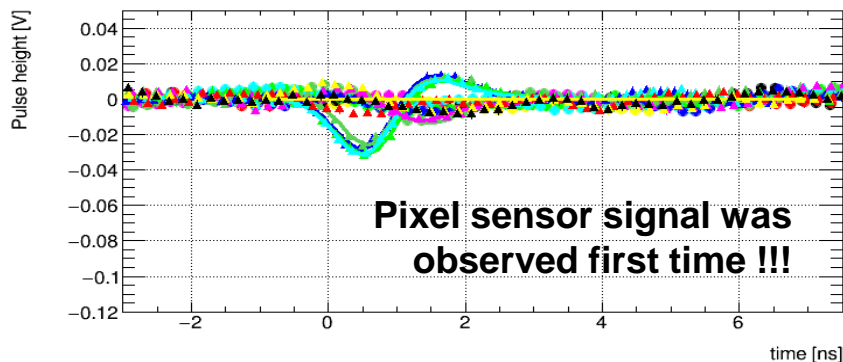
Signal size distribution



Need further improvement for pixel sensors

→ Make signal size larger  
(or, allow larger pixel size and take charge division for better spatial resolution)

Pulse shape



To make larger signal size : larger  $R_{imp}$  and  $C_{cp}$

- ✓  $R_{imp}$  : not possible to make higher (limitation of Foundry process)
- ✓  $C_{cp}$  : possible to make larger
- Next prototype

Make oxide thickness thinner (make  $C_{cp}$  larger)

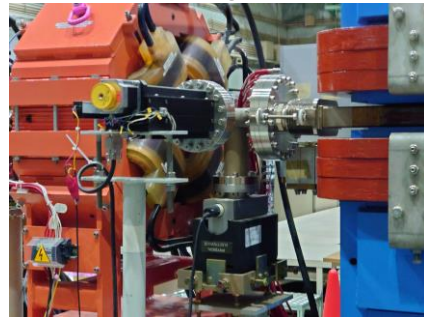
# Testbeam at ELPH

➤ Purpose

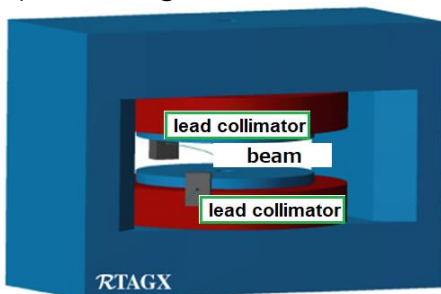
- ✓ evaluate **efficiency** and **timing resolution**
- ✓ check position resolution (and crosstalk)

➤ Research center for **E**lectron **P**hoton science in Tohoku university (July 5th-9th)

**C target**  
(convert  $e^-$  to gamma-ray)



**Metal foil target**  
(convert gamma to  $e^-$  and  $e^+$ )



ELPH facility

STB ring

High energy gamma-ray

800MeV  $e^-$

800MeV  $e^+$

GeV gamma irradiation room

Linac

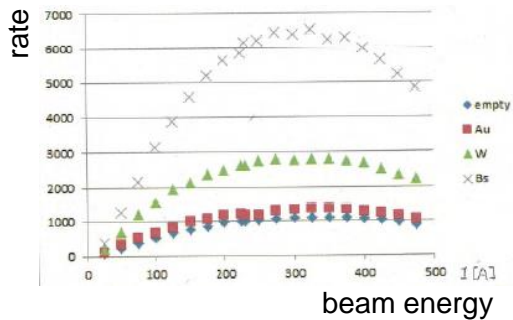
**STB ring**  
(accelerate to 1.3GeV)



**Linac**  
(accelerate to 90MeV)



beam energy vs rate of Au, W, brass and empty target

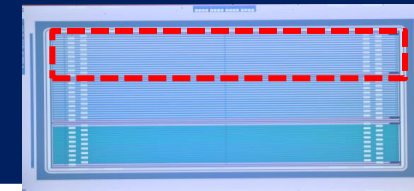


**Metal foil : Brass**

- ✓ radiation length =  $0.6 X_0$
- ✓ highest beam rate but various energies



# Efficiency (testbeam)



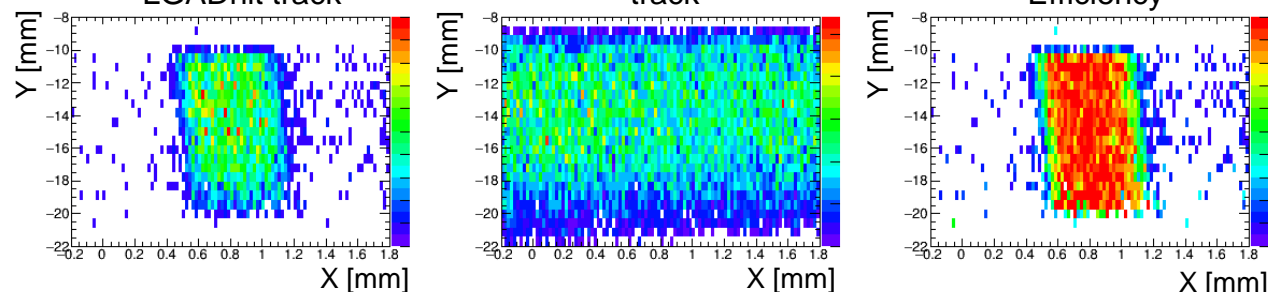
To check expected 100% of efficiency

## ➤ Testbeam at ELPH (Tohoku University)

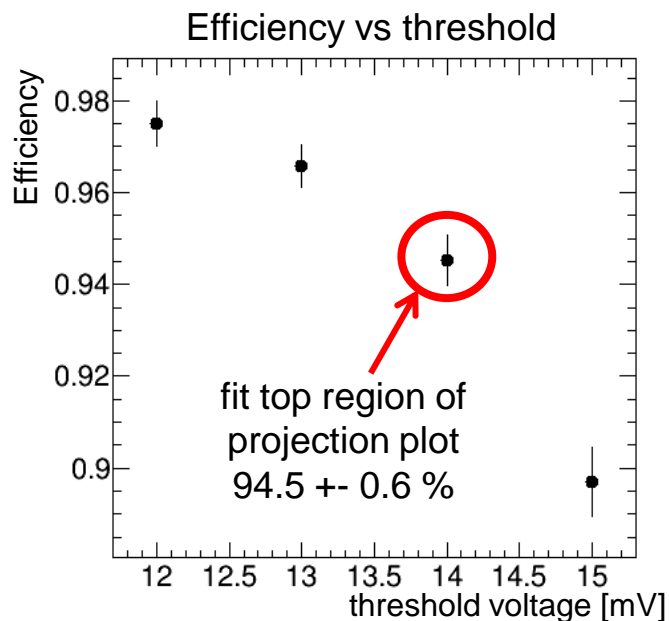
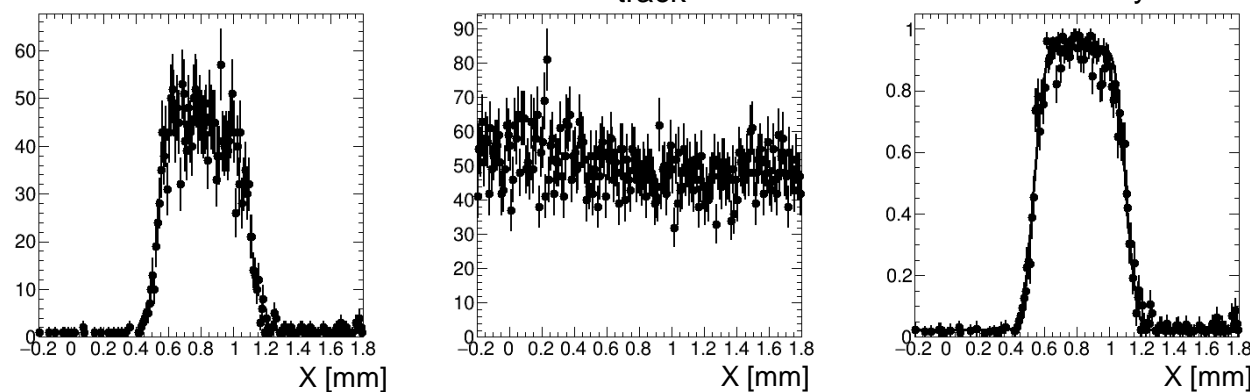
- ✓ Sensor : Strip E-b
- ✓ Bias voltage : 170V
- ✓ channel : 9~15ch

➤ threshold 14mV

- ✓ 2D track map  
LGADhit track

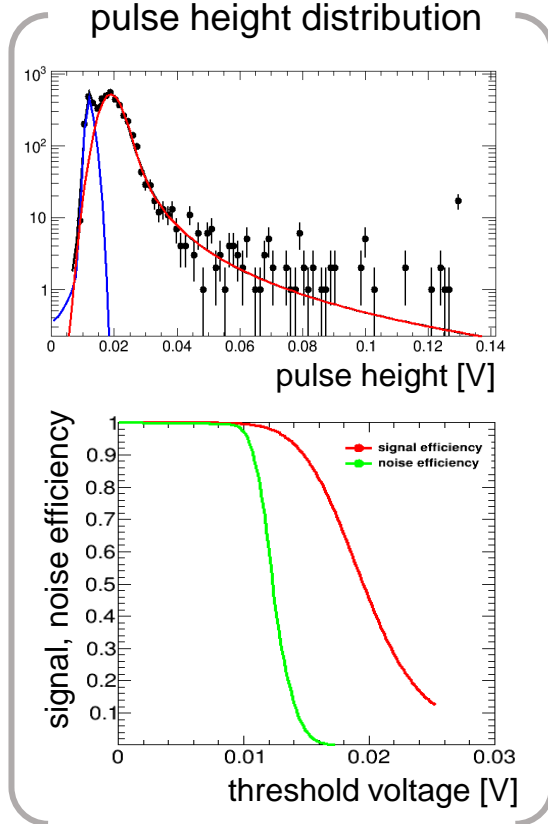


- ✓ projection X (y=-12~-17 mm)  
LGADhit track



consistent to estimation from pulse height distribution

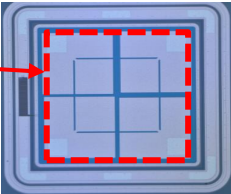
Efficiency estimation from pulse height distribution



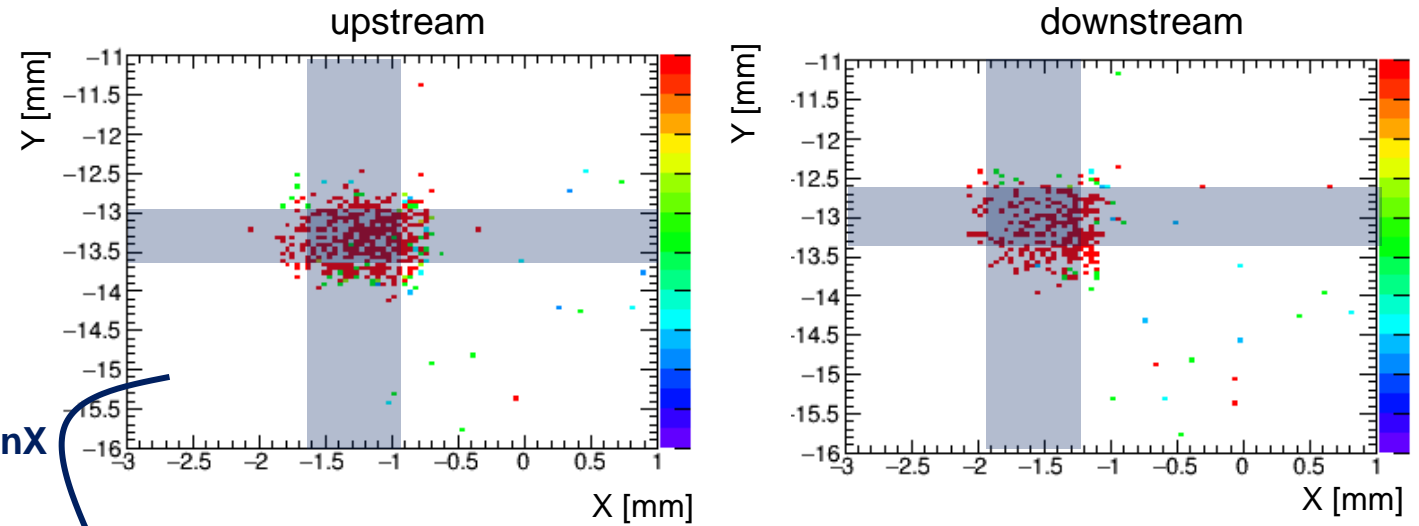
Efficiency was 94.5+-0.6% at 14mV threshold

# Efficiency (Pad E-b type)

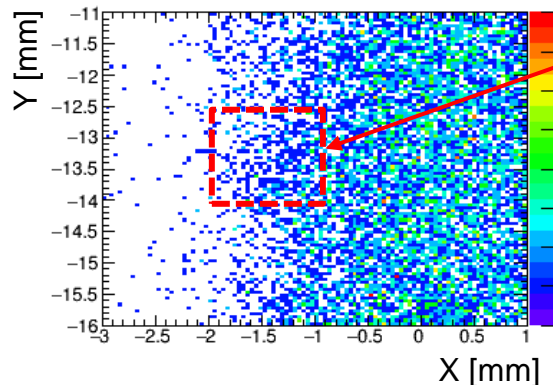
## ➤ Efficiency

- ✓ Bias voltage : 140~170V
- ✓ ch0~3 (2layers) 
- ✓ Event : ~240,000
- ✓ Event selection
  - ✓ Good tracks
    - ✓ have hits for all tel and ROI
    - ✓  $\chi^2/\text{NDF} < 18$  (x,y)
  - ✓ LGAD hit : > 18mV

Efficiency map

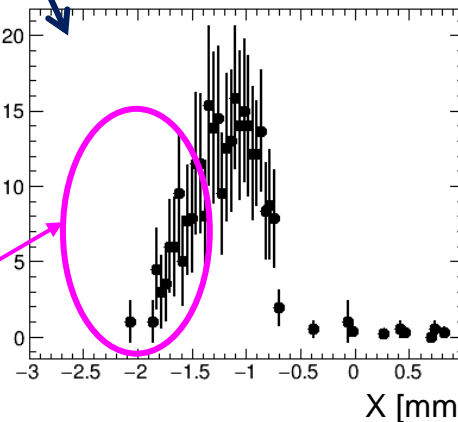


Trackmap at LGAD Z position



**LGAD region**  
 LGAD detector is located at the edge of ROI region

less event in left side of sensor



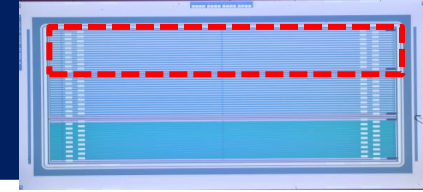
LGAD region

: center of 1mm region by projection X/Y plot –  
 3 sigma of pointing resolution of beam

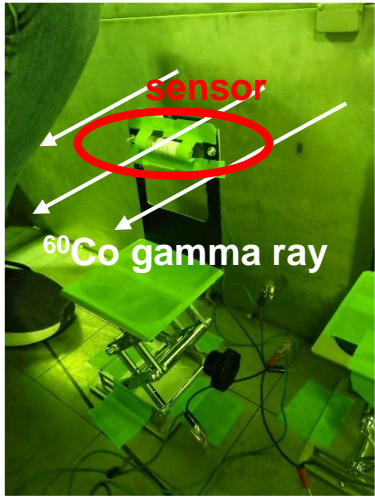
Efficiency : Efficiency average in LGAD region  
 → **97.9 ± 0.9 %**  
 (up and down stream combined)

**Efficiency of pad sensor was expected value**

# Radiation tolerance (TID)

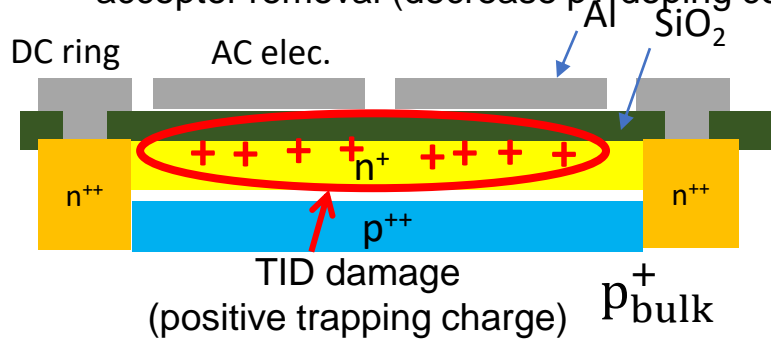


## Irradiation at facility in Takasaki



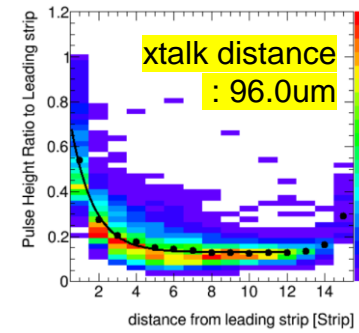
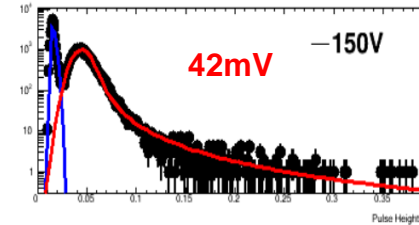
### Radiation damage

- ✓ NIEL : Bulk damage
- ✓ TID : Surface damage ← Gamma irradiation
- ✓ acceptor removal (decrease p<sup>+</sup> doping conc)

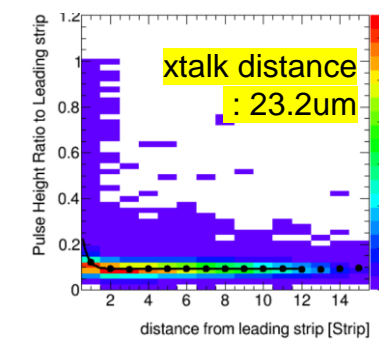
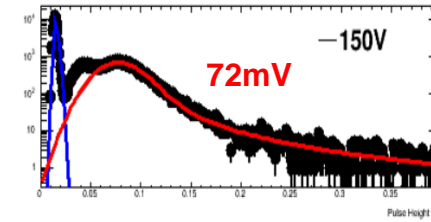


## Signal size and crosstalk

✓ non-irradiation



✓ 1MGy

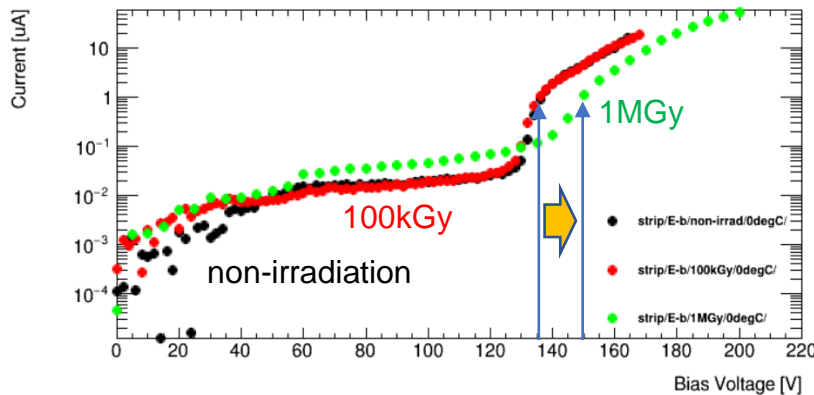


signal size larger in irradiated sample

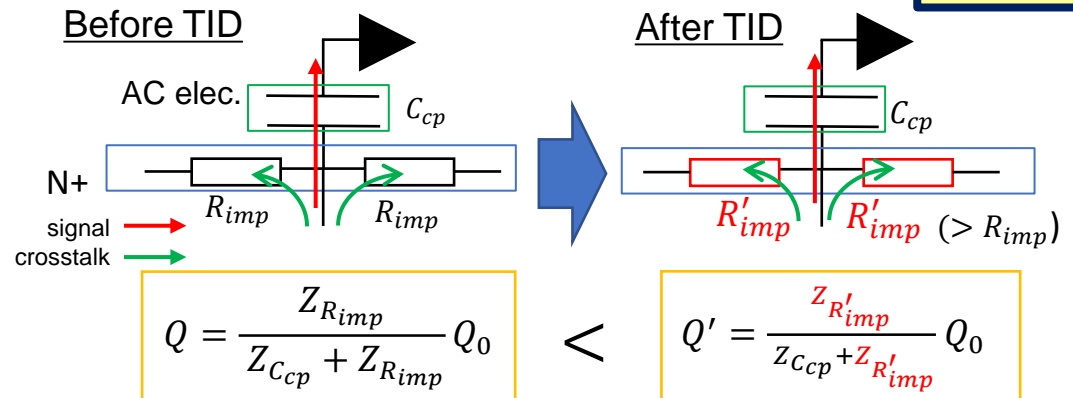
crosstalk smaller by radiation level

Gamma irradiation makes sensor performance better

## IV curve of E-b strip @ 0degC

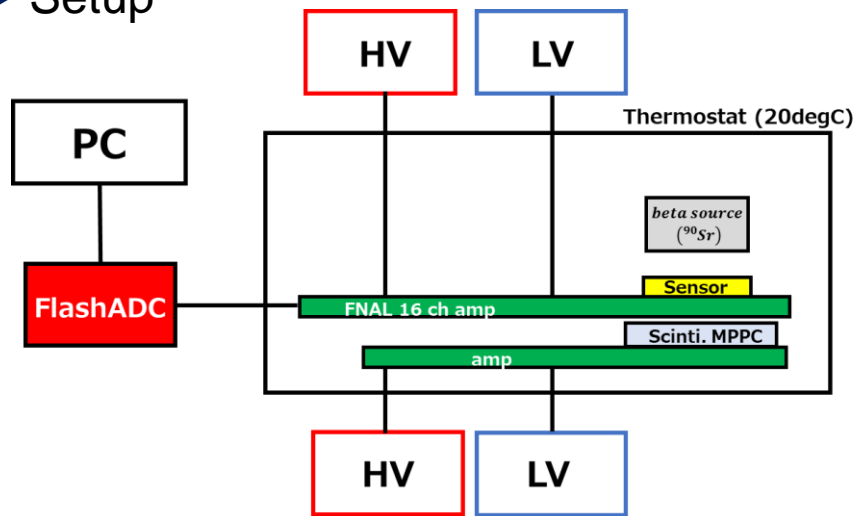


gain voltage getting higher in radiation level (not big issue)

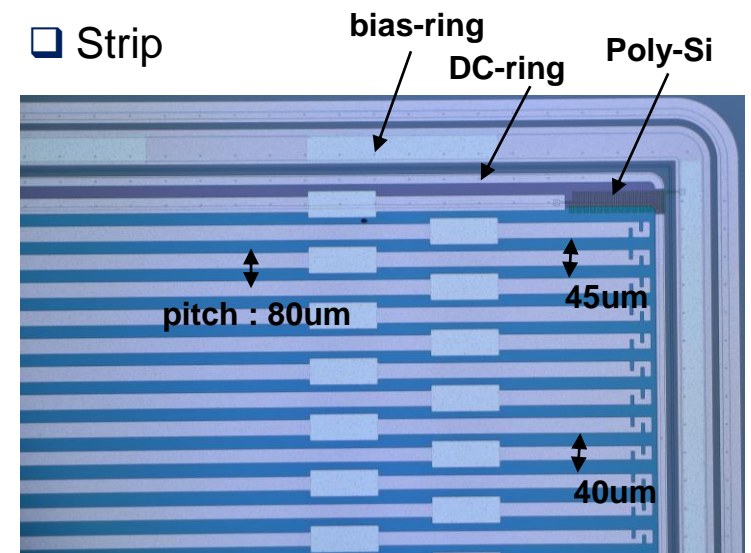
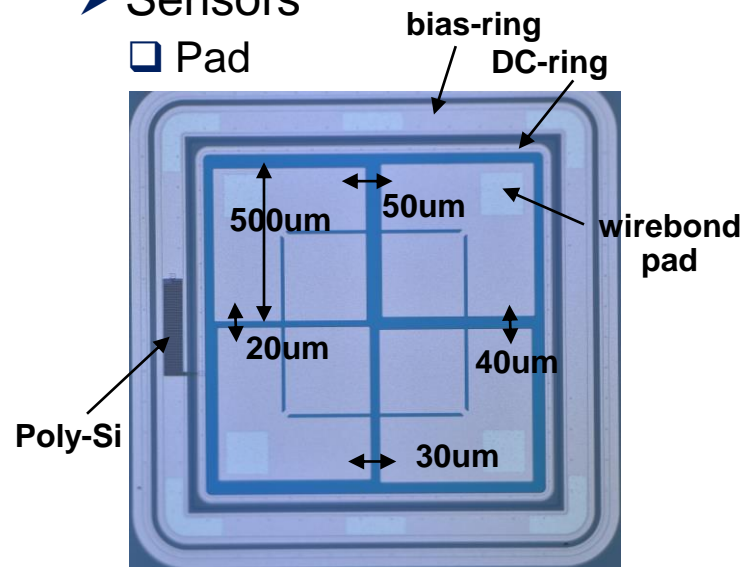


# Lab measurement setup and sensors

## ➤ Setup

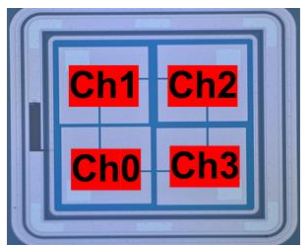


## ➤ Sensors

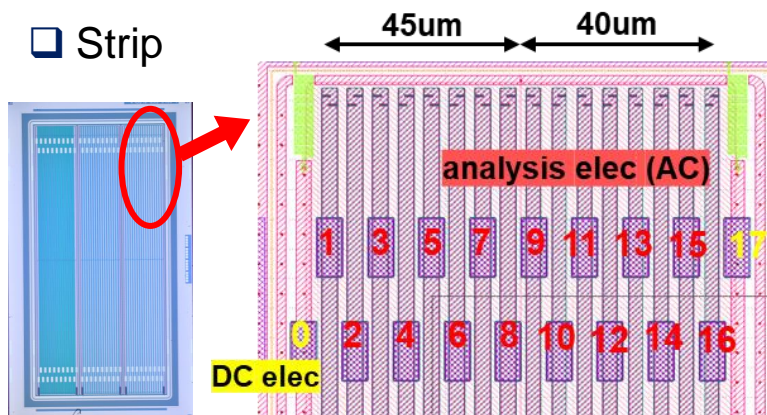


## ➤ Wirebond channel

### ▣ Pad



### ▣ Strip



# Signal size analysis

## ➤ Analysis

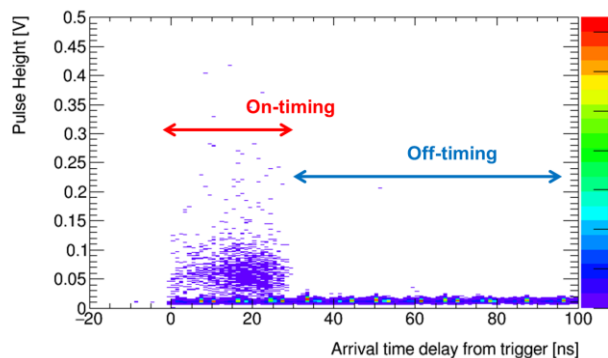
### ❑ Noise

- ✓ Fit Off-timing pulse distribution by asymmetric gaussian function

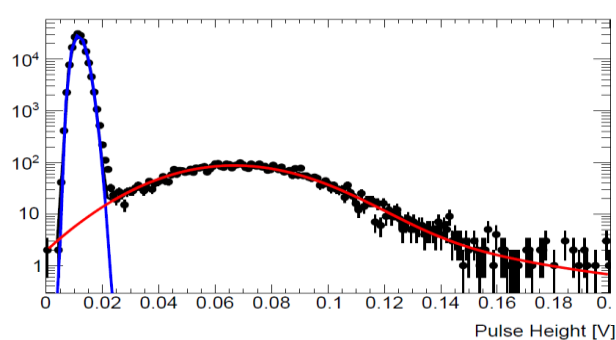
### ❑ Signal

- ✓ Fit On-timing pulse height distribution by Gaussian convoluted Landau function plus function of noise
- ✓ **Signal MPV will be used to compare the signal pulse height size.**

max pulse height channel and arrival time delay from trigger

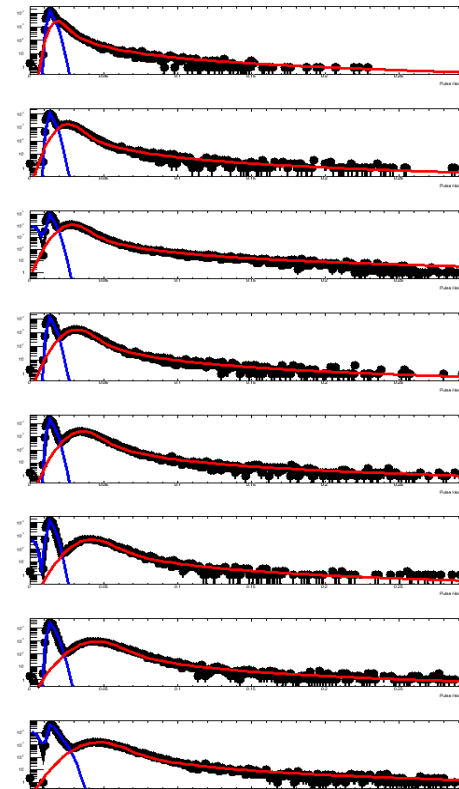


max pulse height distribution at on-timing



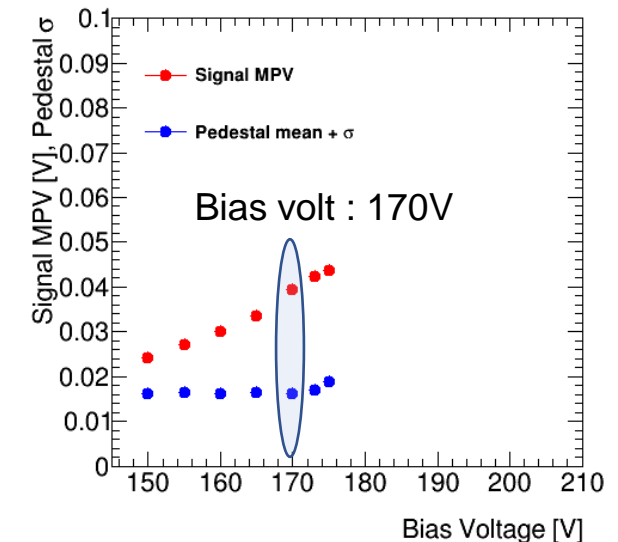
## ➤ How to define operation voltage

- ✓ Example : E-b strip voltage scan

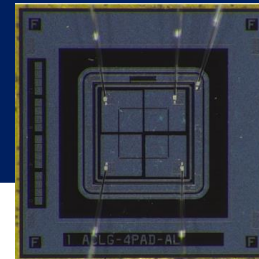


bias voltage

- ✓ larger signal
- ✓ smaller crosstalk

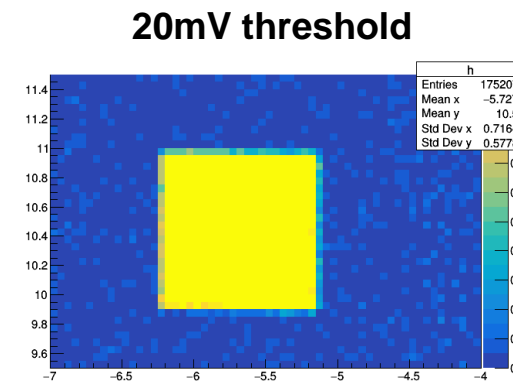
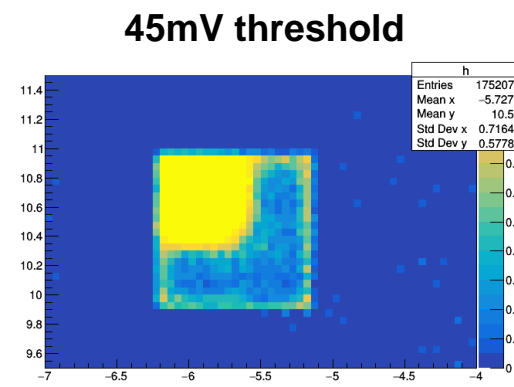
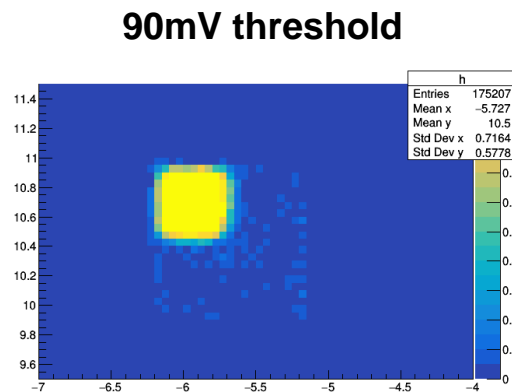
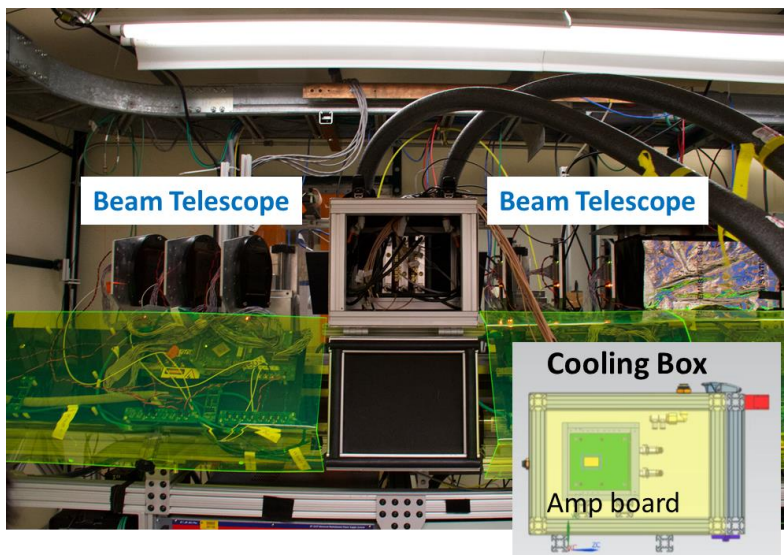


# Testbeam @ FNAL

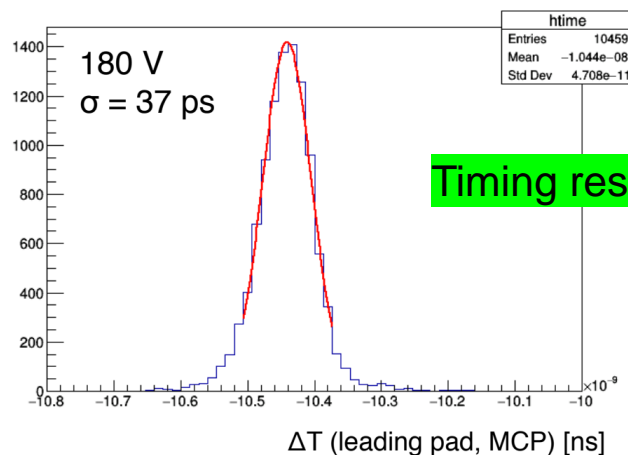


- Fermilab Test Beam Facility (FTBF)  
: 120GeV proton beam

- Efficiency of C2



- timing resolution of C2 pad



**Timing resolution : ~37ps**

- ✓ Efficiency : 100%
- ✓ Timing resolution : 37ps



LeCroy  
**WR8208HD scope**  
12bit, 10GSa/s, 2GHz 8 channel

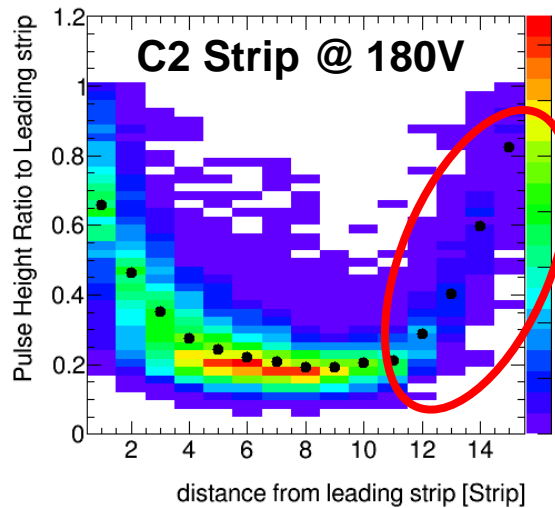
PHOTEK  
**MCP photomultipliers**  
(PMT140)  
450ps FWHM with 5e3 Gain

**~5ps timing resolution**  
**(SPEC: Multi-photon jitter below 10 ps)**

# Some issues

- Investigation of bias resistor issue (non-irradiation)

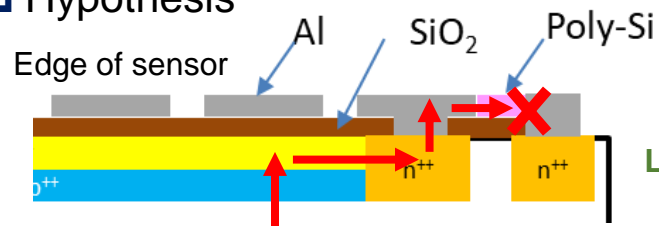
What is the signal leak from the other side of strips?



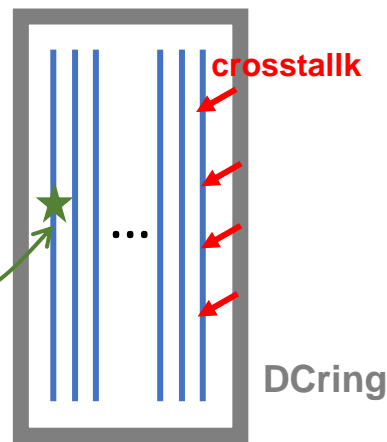
The tail ...

- ✓ C2, C2-b, D-a, D-b and E-b (much less pronounced E-b type)
- ✓ Getting smaller by highest resistivity samples

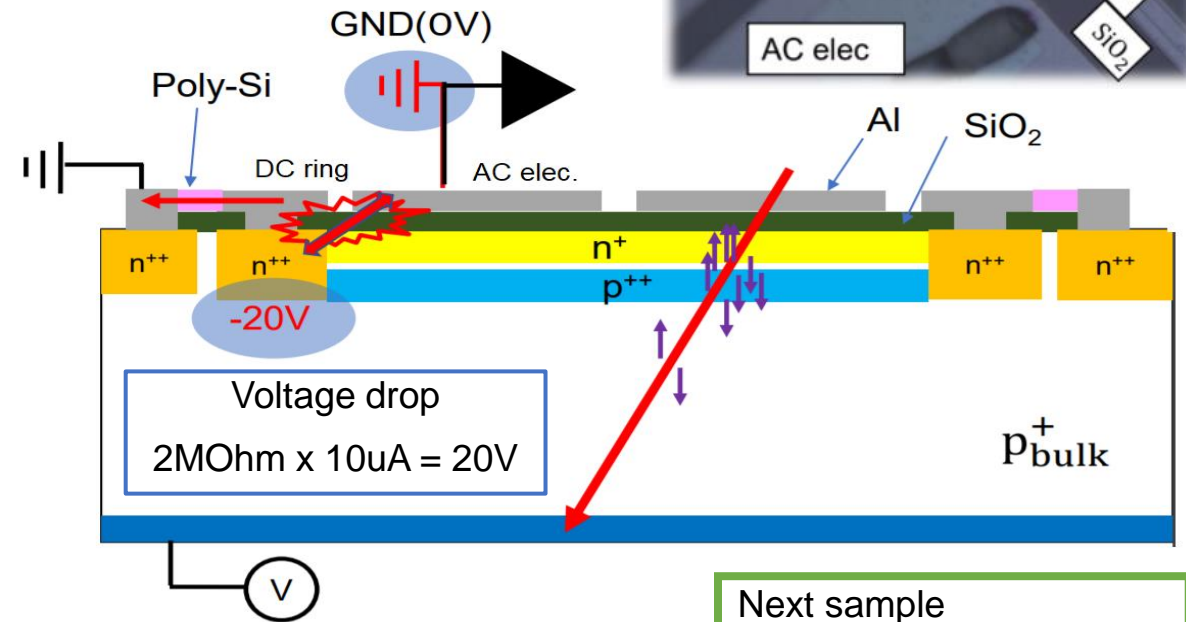
## Hypothesis



- ✓ MIP particle inject edge strip
- ✓ Poly silicon resistance > Rimp resistance  
→ charge cannot escape to GND



- Sparked sensor (irradiated)



## Hypothesis

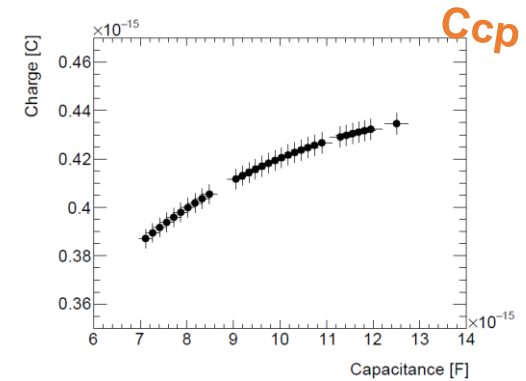
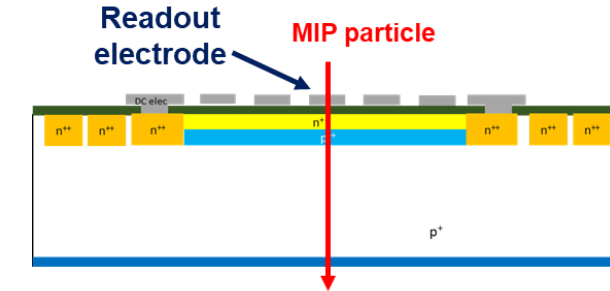
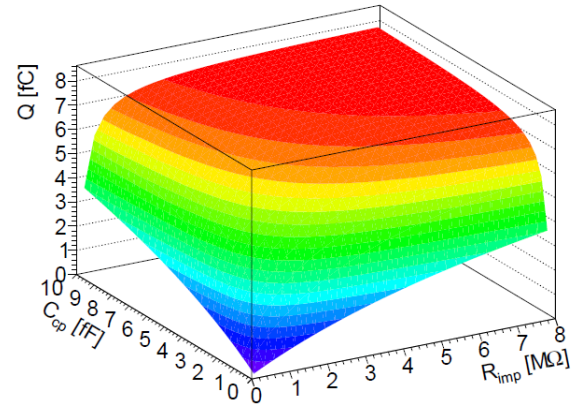
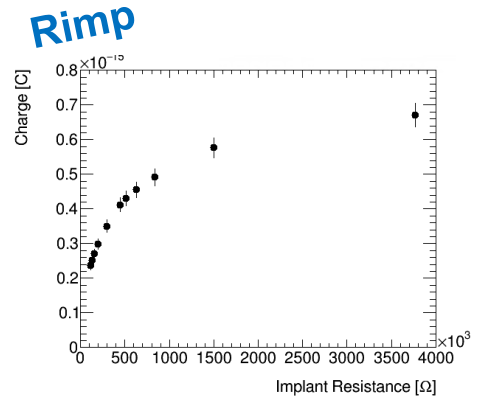
1. High voltage
2. Voltage drop by Poly-Silicon resistivity
3. Voltage difference between AC elec. and n++ ring (DC ring)  
→ Spark

Next sample : sample with a little far distance between AC elec. and DC ring

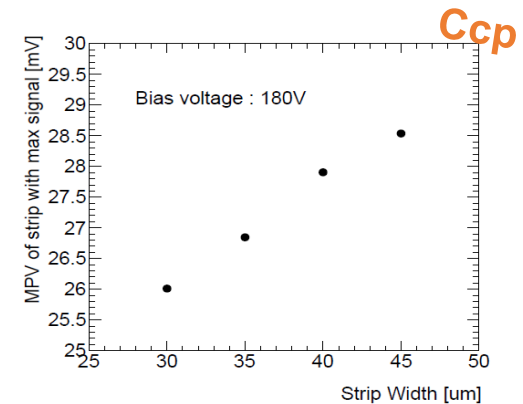
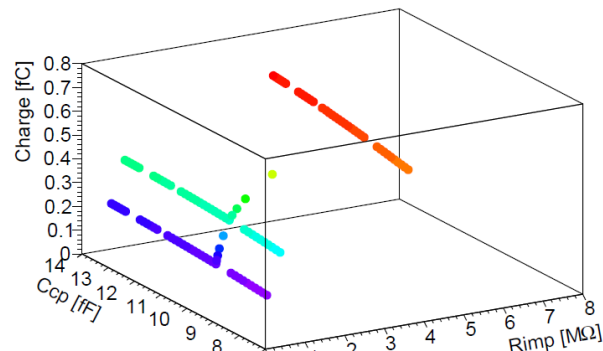
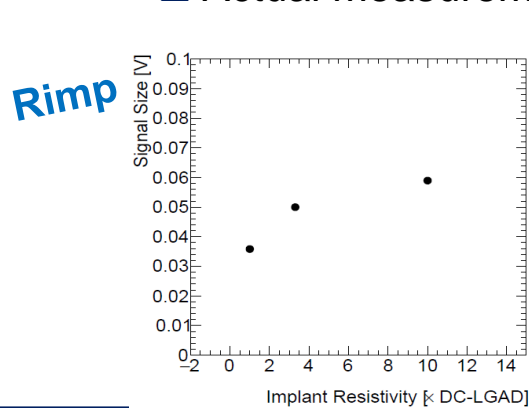
# TCAD Simulation and Actual Measurement

## ➤ Signal Size (repost) : Changing Rimp and Ccp

☐ Simulation



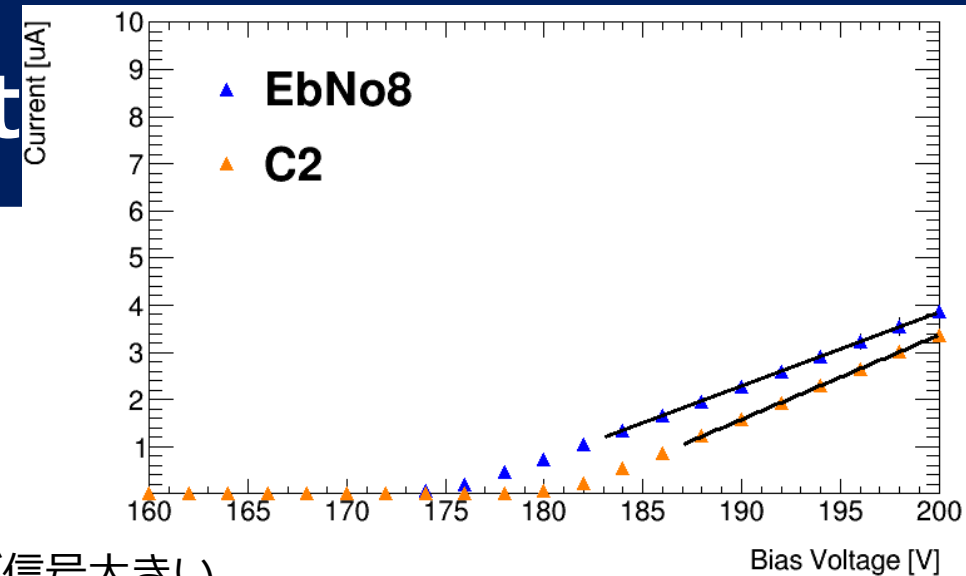
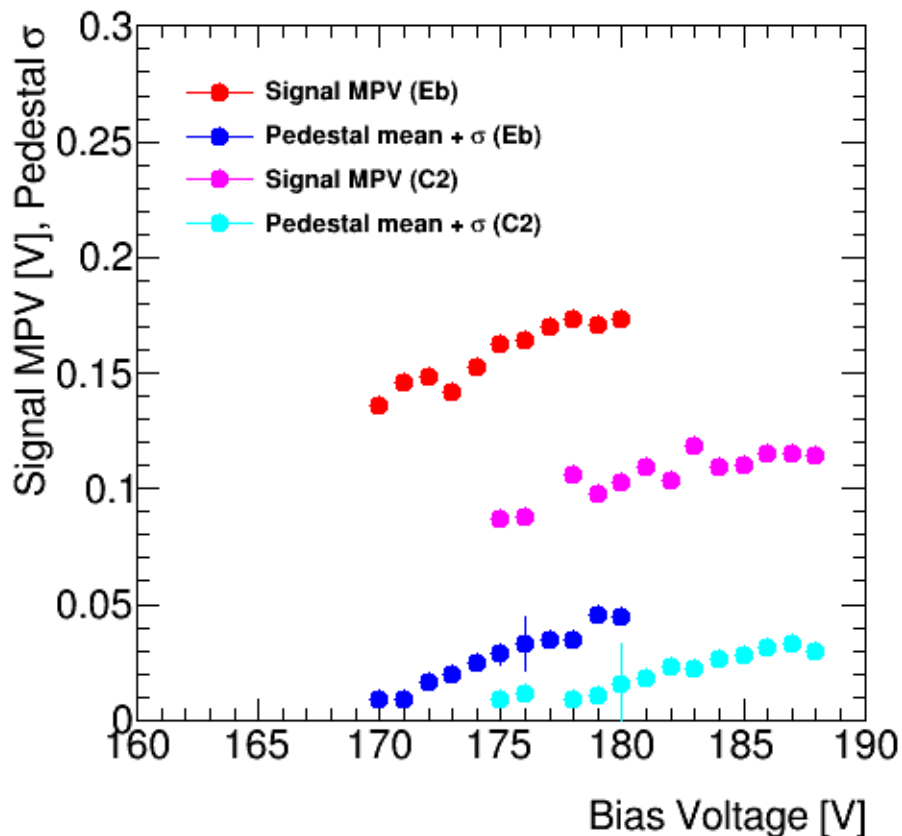
☐ Actual measurement





# totカット後のペDESTALと信号をFit

- ▶ うまくFitできた
  - ▶ 信号とペDESTAL +  $\sigma$ をC2とEbで比較



- ▶ C2よりもEbの方が信号大きい
- ▶ ペDESTALについて
  - ▶ 低電圧：大体同じ(4V差くらい)→IV
    - ▶ 表面でブレイクしている仮説は違った？  
(表面でブレイクしてたらペDESTALの増加が4V差どころじゃなくもっと早いのでは)
  - ▶ 高電圧：Ebの方が多そう(4V差で)
    - ▶ n+ドーピング量が薄いから増幅された熱ノイズがより多く読みだされている

EbがペDESTALの増幅率が大きいならSN的に時間分解能測定が限界にくるのか？

もう少し高い電圧で見れないかがんばってみる

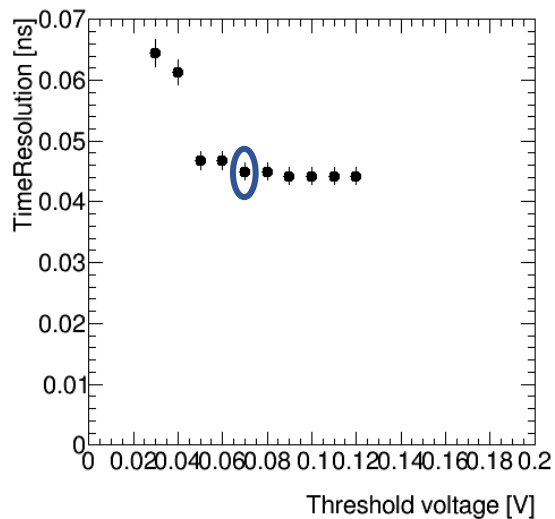
# 時間分解能

## ➤ C2とEbで時間分解能のvoltage scan

前回：Fitするには少なくとも200run必要だった→100run追加、200run分データをとった

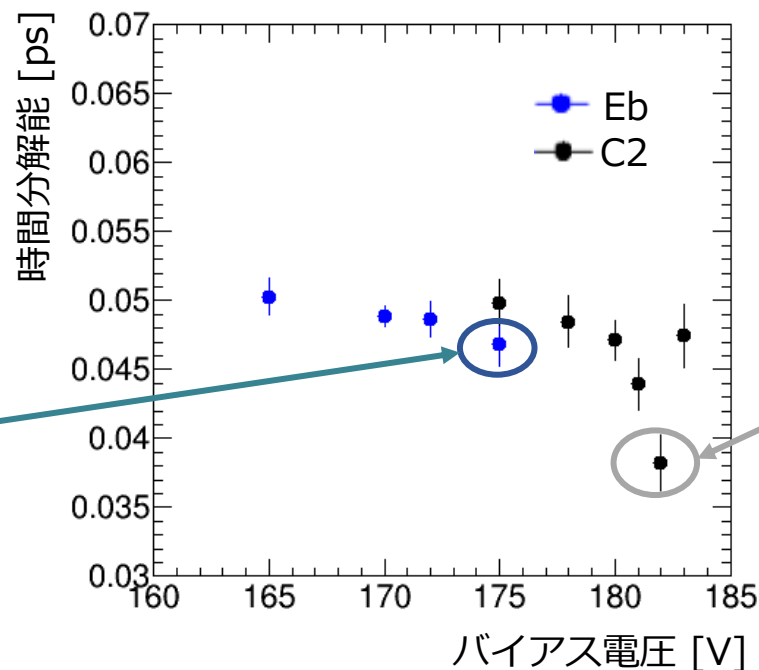
Eb@175V

時間分解能：46.8±1.5ps



Eb→176Vくらいで**びりびり**

thr60mVでの時間分解能

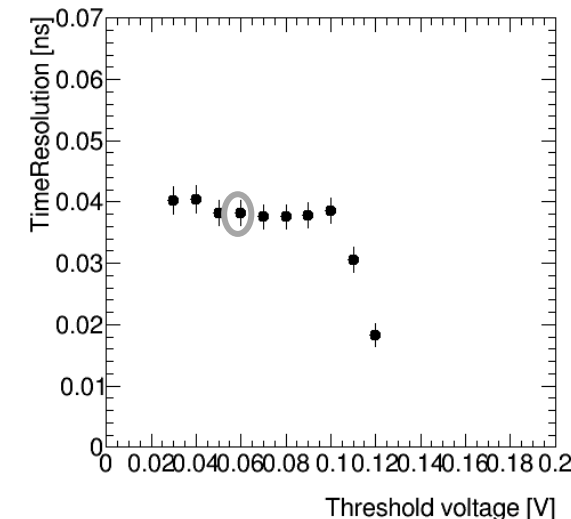


## ➤ びりびり限界まで取ると

- ✓ C2は時間分解能がよくなって悪くなる
- ✓ Ebは時間分解能がよくなって悪くなる前にびりびり？

C2@182V

時間分解能：38.2±2.0ps

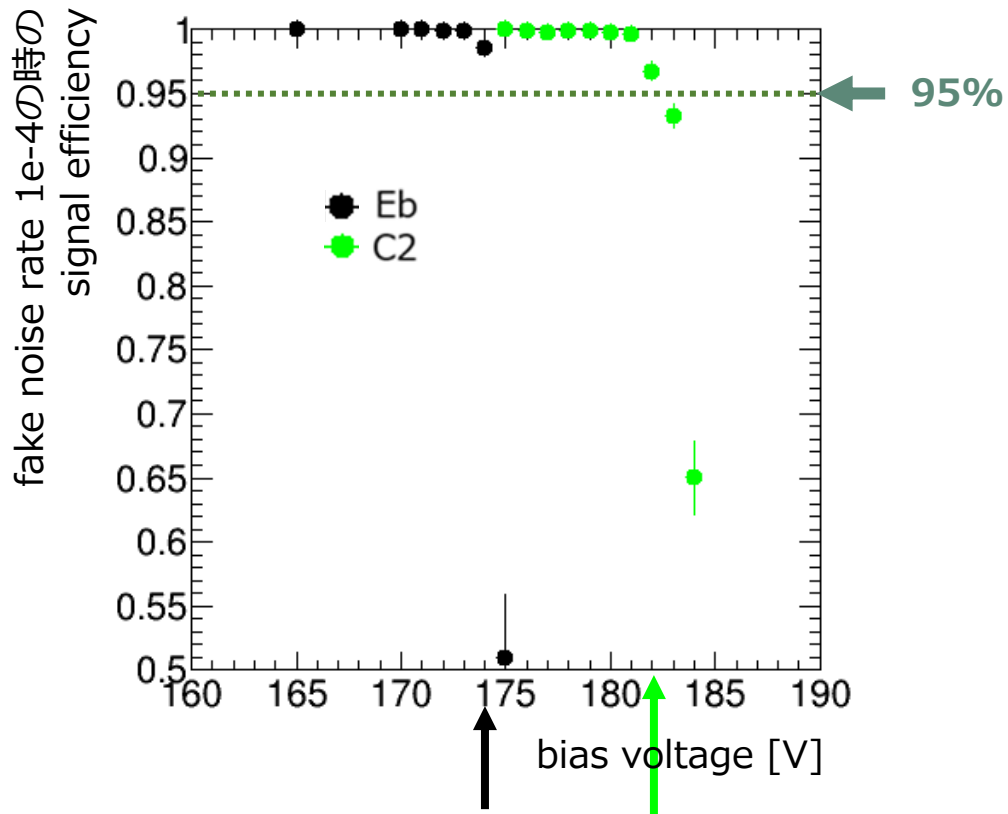


C2→183Vくらいで**びりびり**

びりびりを定量的に定義するために  
波高分布のノイズを確認

# fake noise rateを関数から求めた

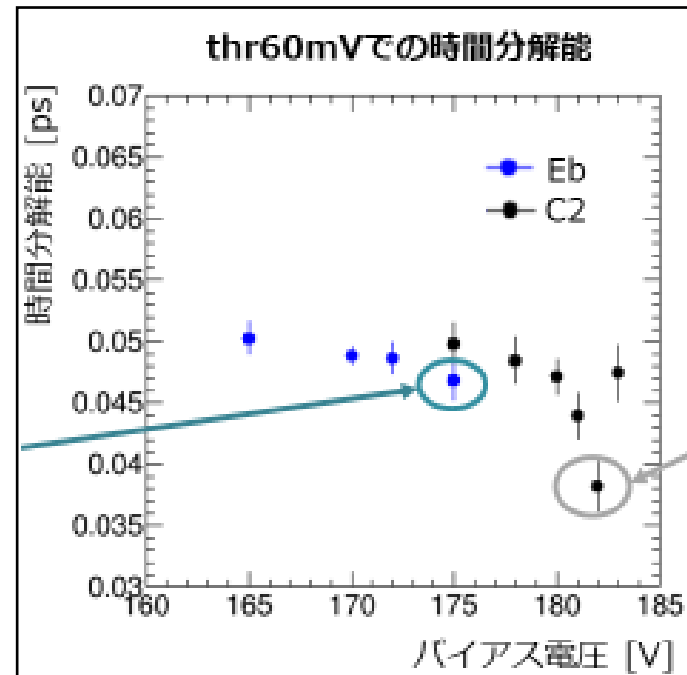
fake noise rate  $1e-4$ の時の  
signal efficiency



fake noise rate  $1e-4$ の時のsignal efficiency95%を  
切らないようにすると

- ✓ C2 : 182V
- ✓ Eb : 174V

での時間分解能を言えばよい



(論文用) todo

- ✓ Ebを174Vでいっぱいデータとる
- ✓ C2は183Vでいっぱいデータとる
- ✓ このプロットをそれぞれ  $1e-4$ の時のthresholdごとの時間分解能にする